Ingénierie optique

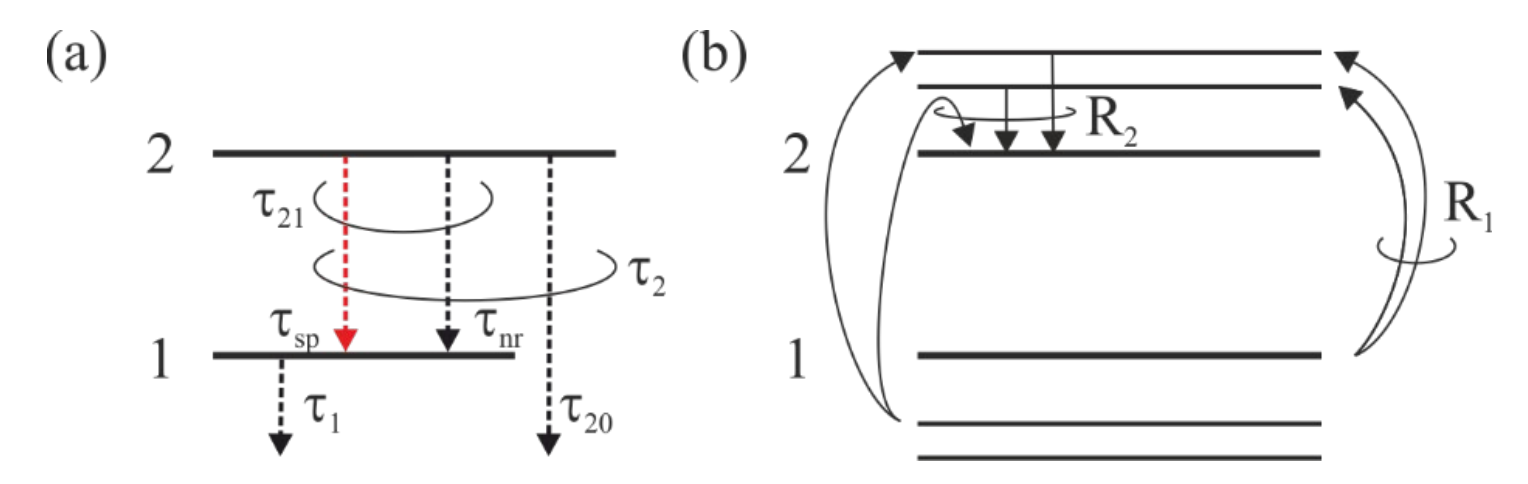
Semaine 13 – partie 1





Rate equations

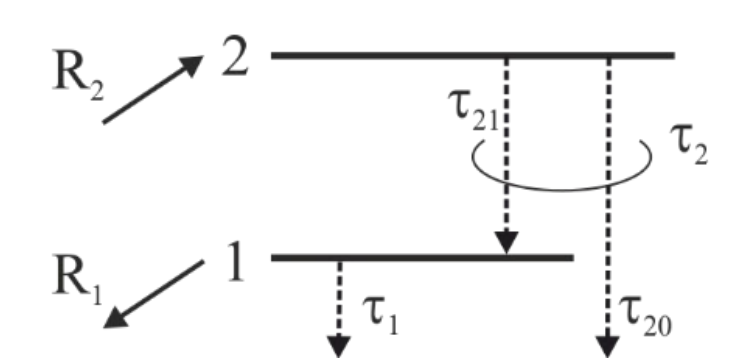
 $[\tau] = s$



- On peut atteindre un état d'équilibre pour les populations des niveaux 1 et 2 en amenant des électrons vers le niveau 2 et en enlevant des électrons du niveau 1
- Différence de population: $N = N_2 N_1$

$$\frac{dN_2}{dt} = R_2 - \frac{N_2}{\tau_2}$$

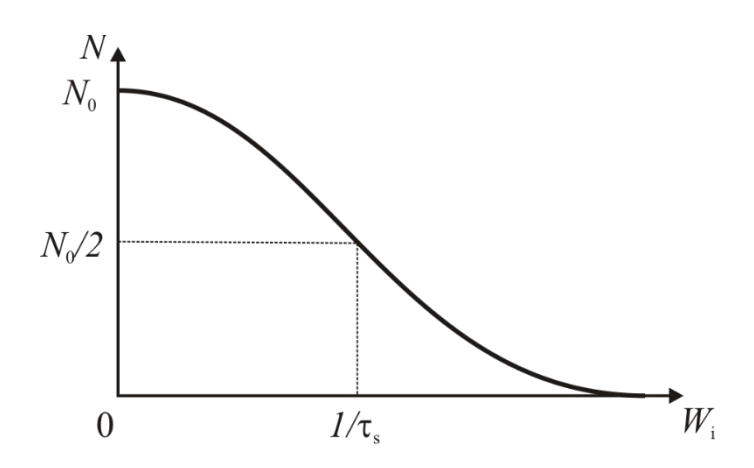
$$\frac{dN_1}{dt} = -R_1 - \frac{N_1}{\tau_1} + \frac{N_2}{\tau_{21}}$$



Rate equations

 $[W_i] = s^{-1}$

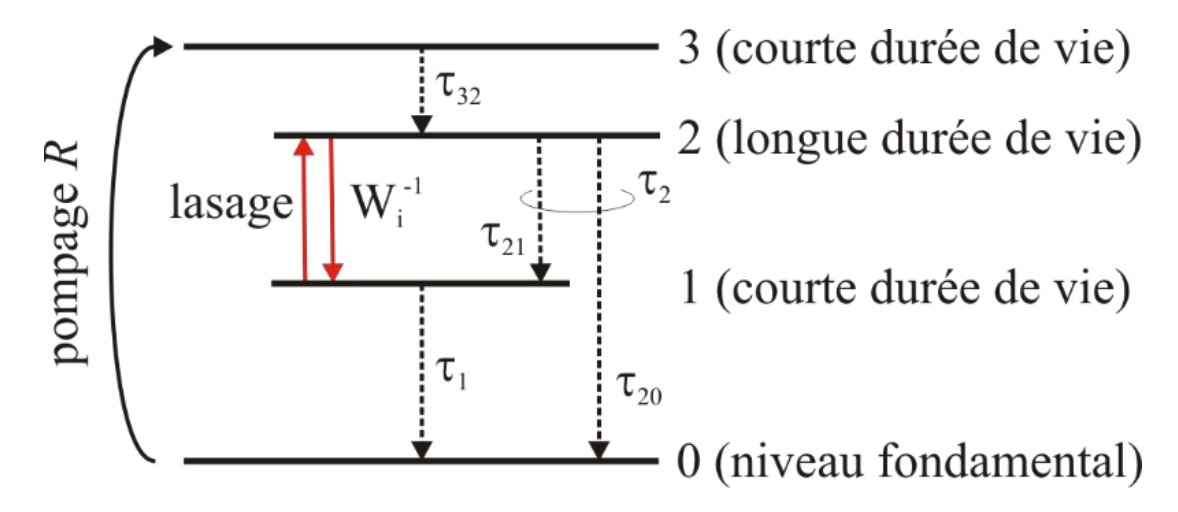
 $[\tau] = s$



- Absorption et émission stimulée ont la même probabilité $P_{
 m ab} \equiv P_{
 m st} \equiv W_i = \phi \sigma(
 u)$
- La différence de population diminue en présence de radiation (avec émission stimulée et absorption)
- Lorsque l'interaction entre les deux niveaux augmente (W_i grand), alors $N \to 0$ et il ne peut plus y avoir de lasage
- au_s représente la constante de temps de saturation et joue un rôle important dans la dynamique du laser

Modèle à 4 niveaux – Pompage

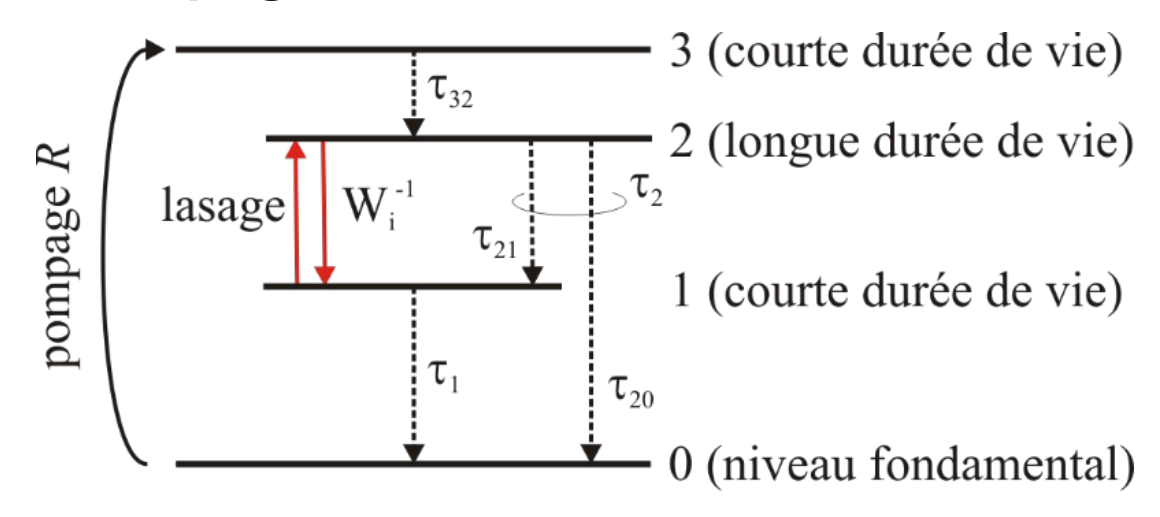
 Bien que le milieu actif puisse avoir de nombreux niveaux électroniques, un laser est bien décrit avec un modèle à 4 niveaux:



- A température ambiante le niveau 2 n'est pas peuplé, il faut réaliser une inversion de population: apporter de l'énergie soit avec une lumière extérieure, soit avec un courant extérieur
- On ne peut pas pomper directement dans le niveau 2, on doit passer par un niveau supplémentaire 3; cependant, le niveau 3 a une durée de vie très courte (c'est comme si on pompait directement dans le niveau 2)

Modèle à 4 niveaux – Pompage

 $[\tau] = s$



- La décroissance non-radiative $2 \rightarrow 1$ est négligeable et R_1 =0
- Différence de population à l'équilibre (équations de taux avec dérivées nulles)

$$\frac{dN_{2}}{dt} = R_{2} - \frac{N_{2}}{\tau_{2}}$$

$$\frac{dN_{1}}{dt} = -R_{1} - \frac{N_{1}}{\tau_{1}} + \frac{N_{2}}{\tau_{21}}$$

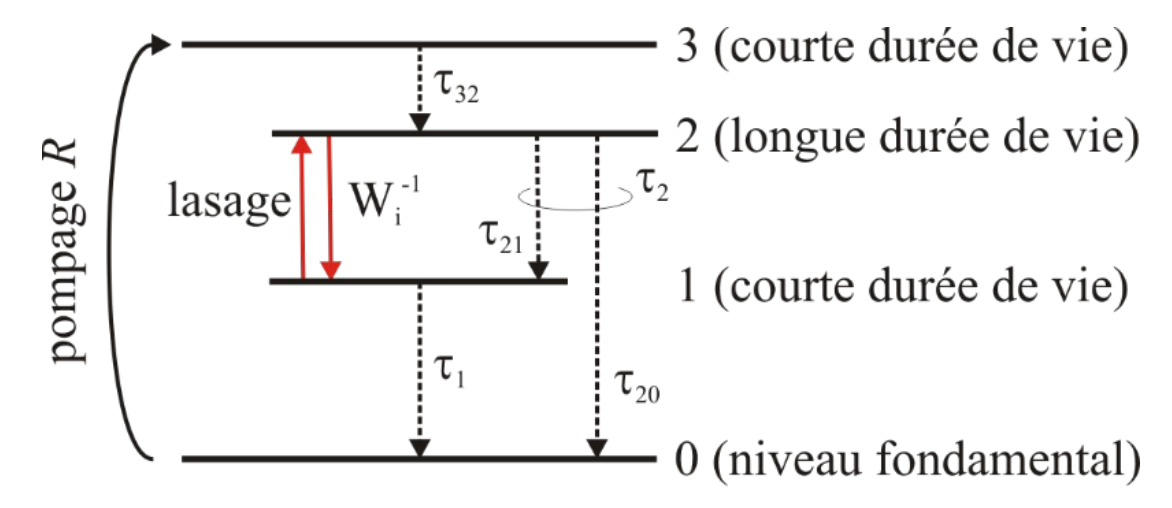
$$R_{2} \qquad 2 \qquad \tau_{21}$$

$$R_{1} \qquad 1 \qquad \tau_{20}$$

$$N_0 = N_{\text{equilibre}} = N_2 - N_1$$

$$N_0 = R_2 \tau_2 \left(1 - \frac{\tau_1}{\tau_{21}} \right) + R_1 \tau_1$$
 $N_0 = R_2 \tau_2 \left(1 - \frac{\tau_1}{\tau_{21}} \right)$

Modèle à 4 niveaux – Pompage



• On a des approximations pour la différence de population à l'équilibre en absence de lasage N_0 et la constante de temps de saturation τ_s :

$$N_0 \approx \frac{t_{sp} N_a W}{1 + t_{sp} W}$$
$$\tau_s \approx \frac{t_{sp}}{1 + t_{sp} W}$$

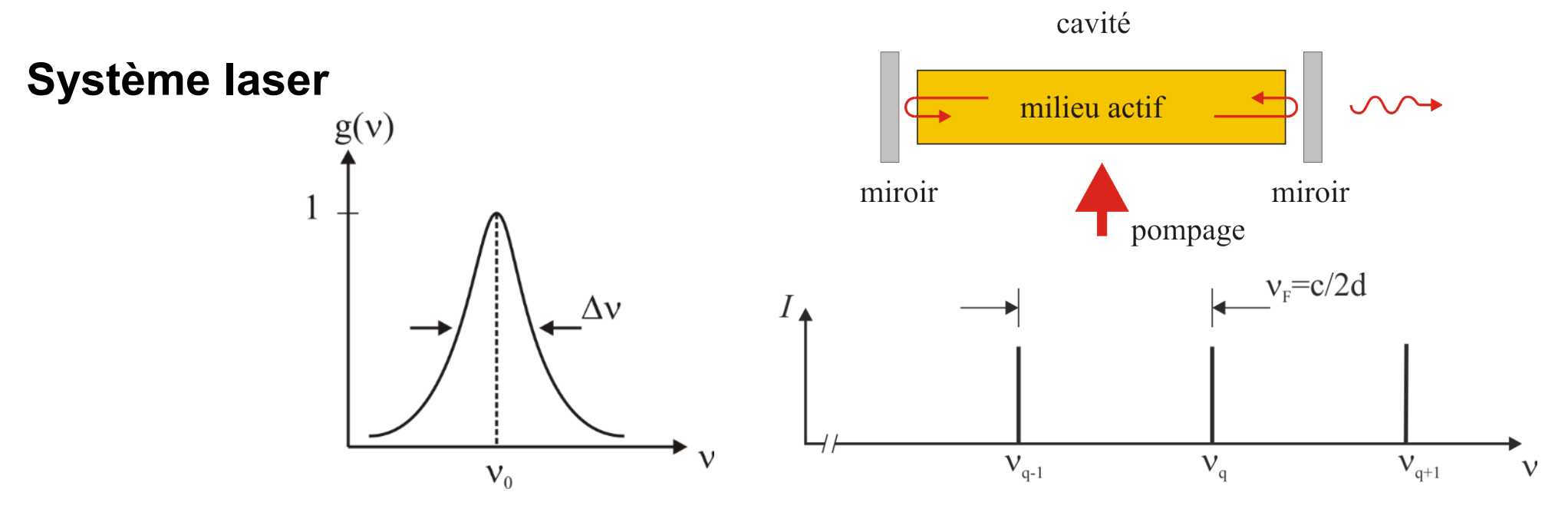
Ces deux paramètres dépendent essentiellement du pompage W

Ingénierie optique

Semaine 13 – partie 2

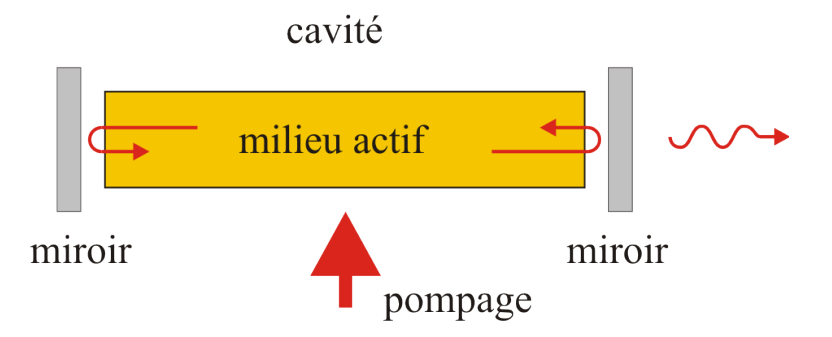






- Nous combinons maintenant la courbe de gain des atomes et les modes supportés par la cavité
- Gain par unité de longueur: $\gamma(\nu)=N_0\sigma(\nu)=\frac{\lambda^2}{8\pi t_{sp}}g(\nu)$ (N_0 différence de population)
- Au fur et à mesure que la densité de flux de photons augmente, le laser entre dans un régime non-linéaire dans lequel il sature et le gain diminue
- Le processus d'amplification fait décroitre la différence de population

Système laser – gain

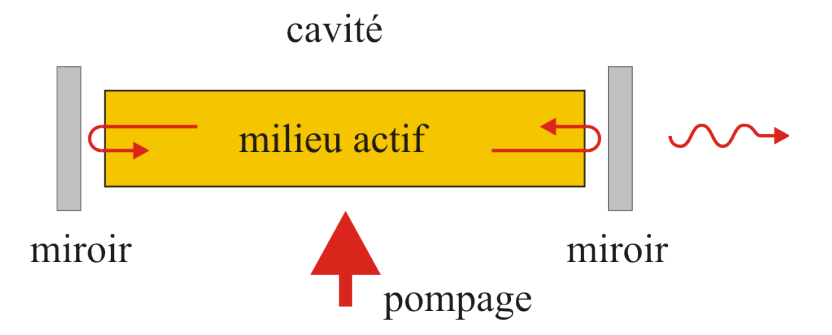


Le coefficient de gain diminue avec l'augmentation de la densité de flux de photons

$$\gamma(\nu) = N\sigma(\nu) = \frac{\gamma_0(\nu)}{1 + \phi/\phi_s(\nu)}$$

- Une phase s'ajoute aussi à l'onde se propageant dans le système $\varphi(\nu) = \frac{\nu \nu_0}{\Delta \nu} \gamma(\nu)$ (cette phase provient de la dispersion des matériaux et du gain qui dépendent de la fréquence)
- Saturation de la densité de flux de photons $\phi_s(\nu) = [\tau_s \sigma(\nu)]^{-1}$

Système laser – pertes



 Pertes pendant un aller-retour en tenant compte de l'absorption et de la réflectivité des miroirs:

$$\mathscr{R}_1 \mathscr{R}_1 \exp(-2\alpha_s d) = \exp(-2\alpha_r d)$$

- Le coefficient α_r prend en compte toutes les pertes (par unité de longueur); il inclut aussi les pertes liées aux miroirs
- Durée de vie des photons dans la cavité $\tau_p = 1/(\alpha_r c)$

Système laser – gain + pertes + cavité

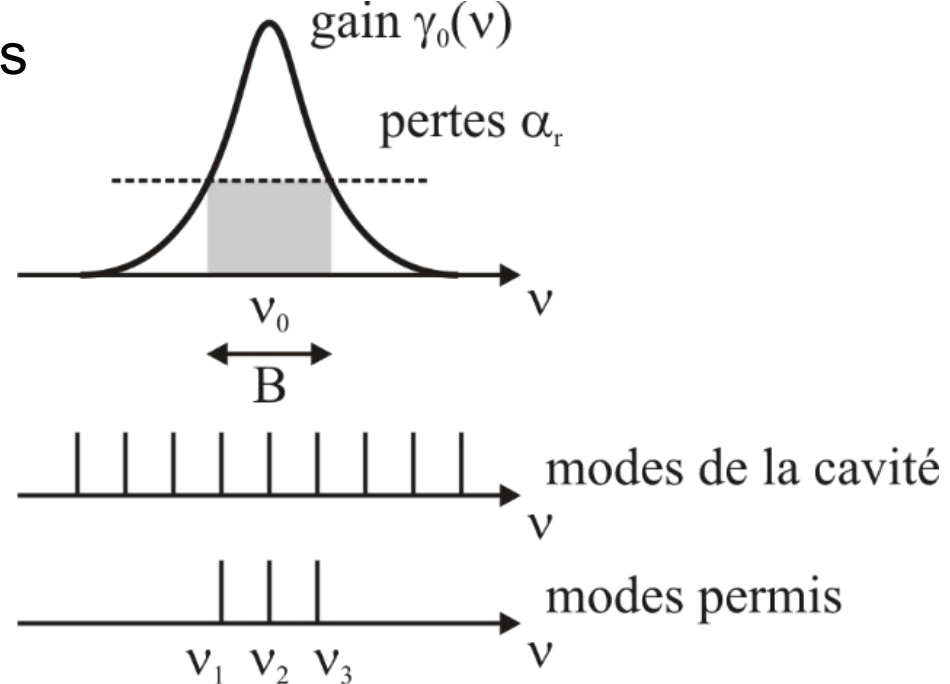
- Au seuil (threshold) le gain doit compenser les pertes
- Pour avoir lasage, il faut $\gamma_0(\nu) > \alpha_r$

$$\gamma_0(\nu) > \alpha_r$$

Seuls quelques modes remplissent cette condition

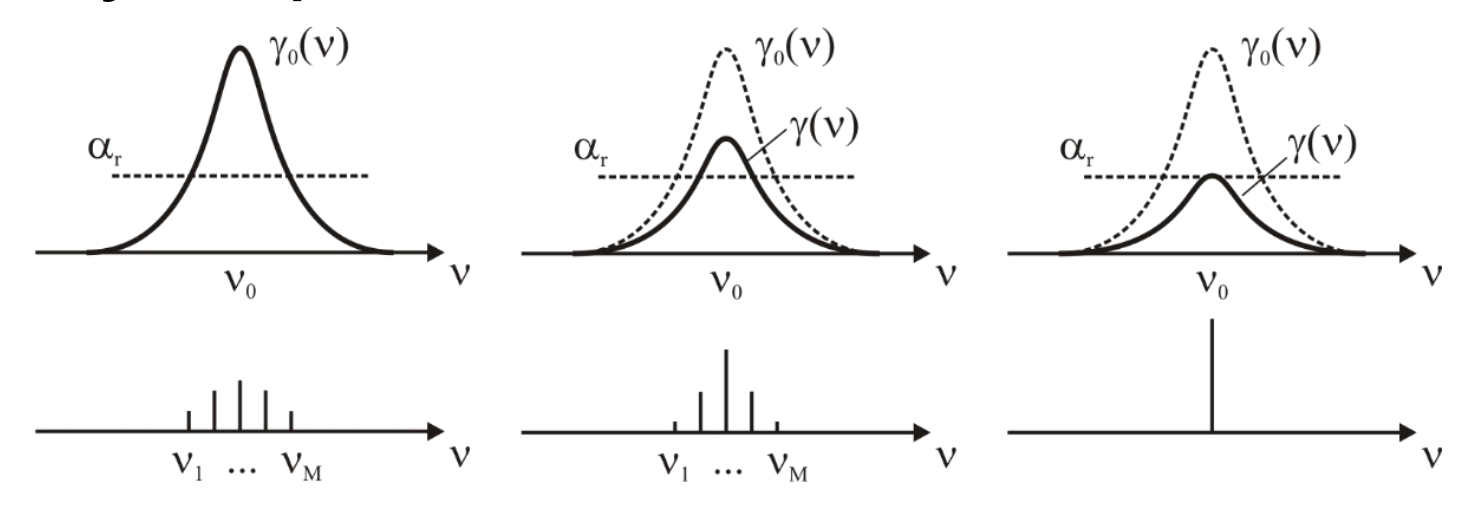
$$M \approx \frac{B}{\nu_F}$$

Différence de population au seuil:



$$N_t = rac{8\pi}{\lambda^2 c} rac{t_{sp}}{ au_n} rac{1}{q(
u)}$$
 (dépend de la fréquence et du gain)

Système laser – dynamique



- Dès que le laser est enclenché la densité de flux de photons augmente
- Les modes dont l'énergie est proche de ν_0 croissent plus rapidement car ils sont favorisés par le gain
- Les photons interagissent avec le milieu et réduisent le gain de façon homogène
- En général, le lasage finit par s'établir dans un seul mode

Ingénierie optique

Semaine 13 – partie 3

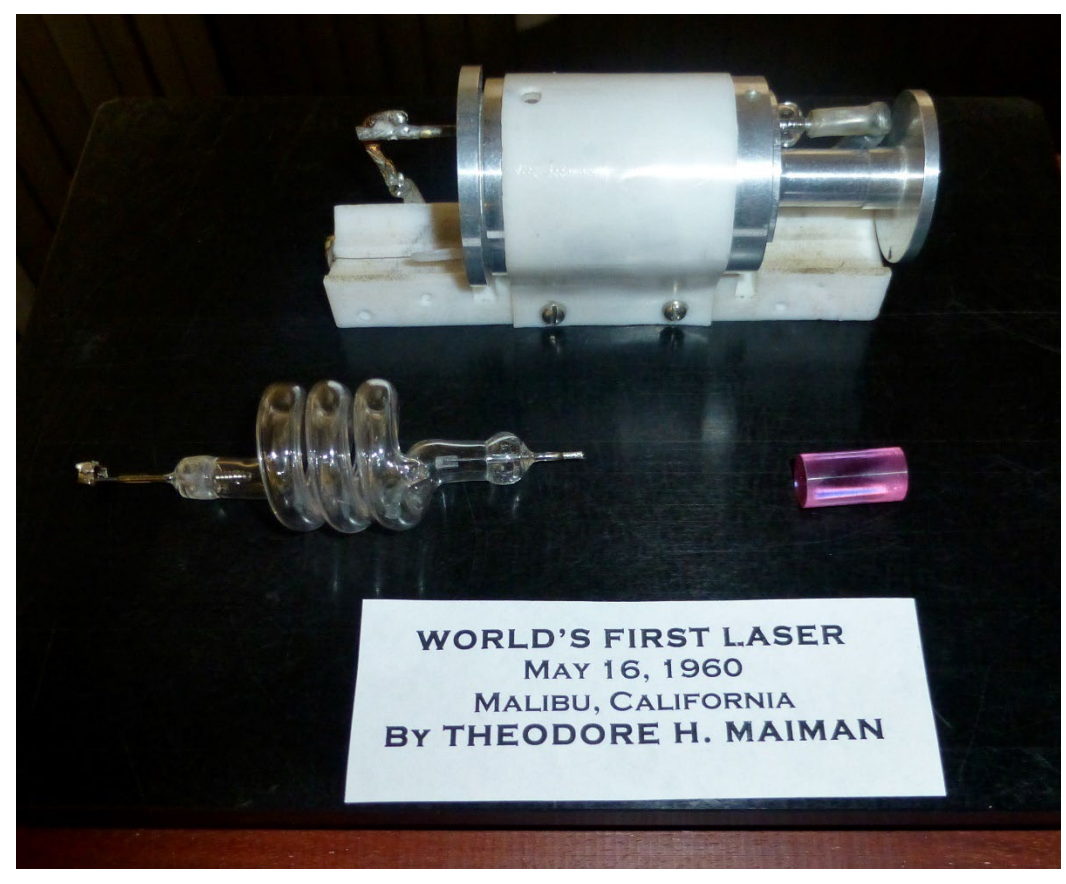




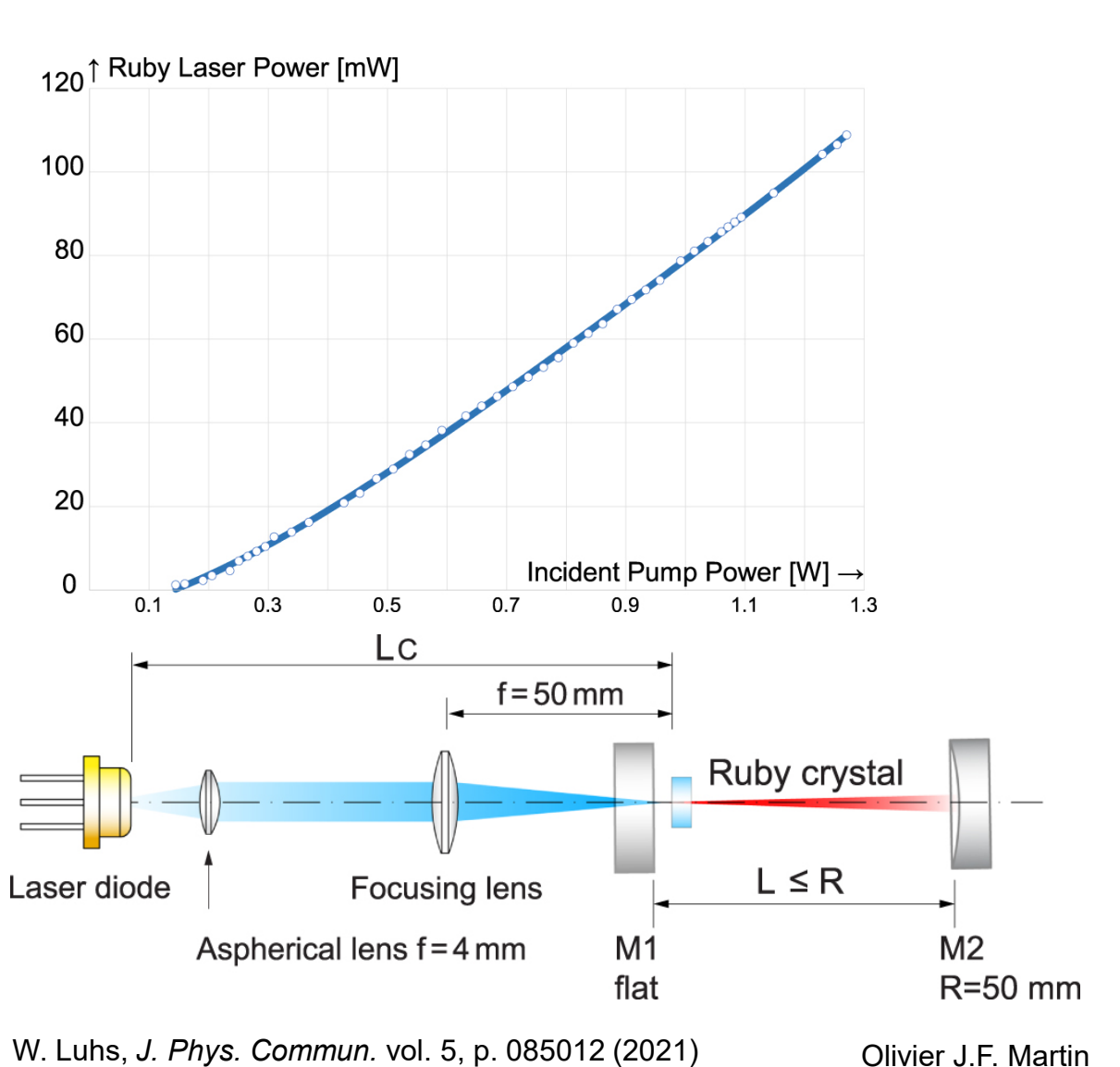
Le tout premier laser

Laser au rubis fabriqué par Théodor Maiman, inversion de population réalisée avec

une lampe flash



Wikimedia

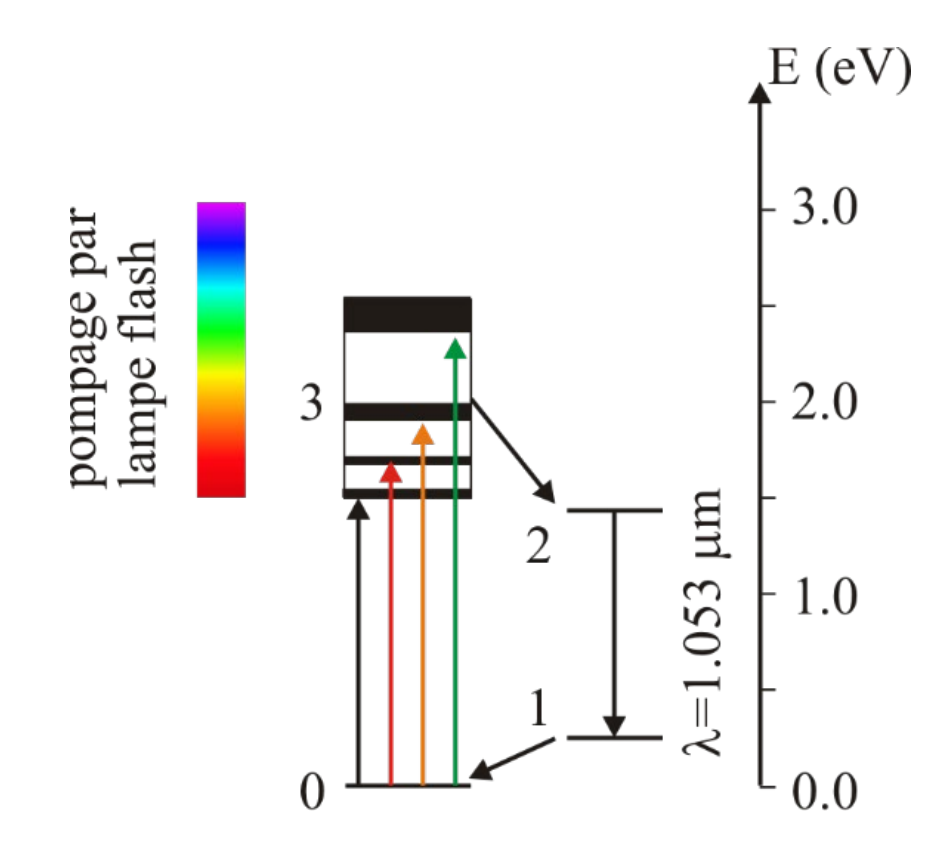


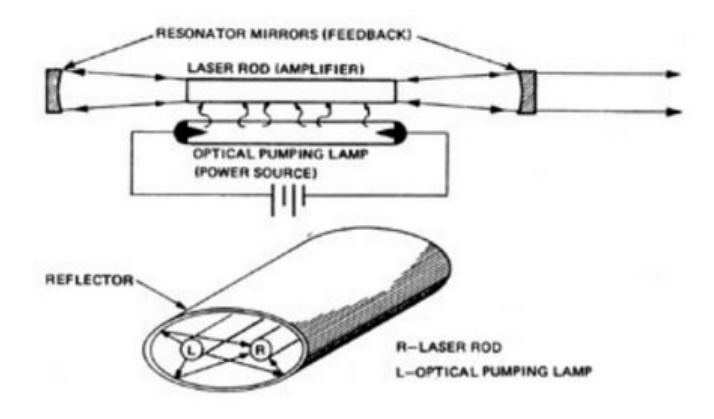
Laser Nd:YAG

Grenat d'yttrium-aluminium doppé au néodyme Nd:Y₃Al₅O₁₂

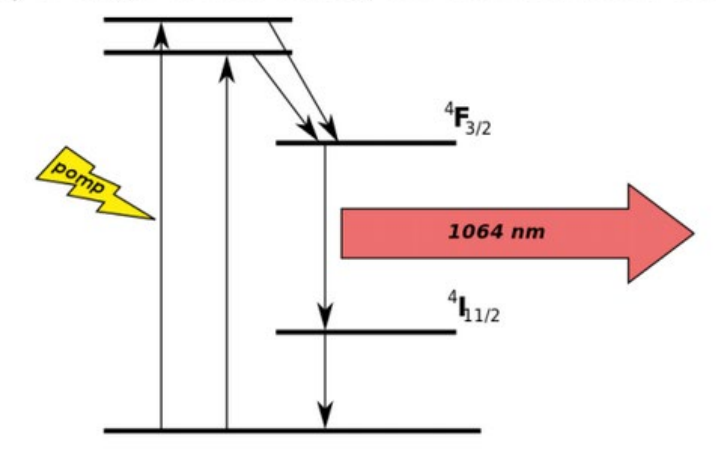
Pompage par lampe flash dans le niveau 3 qui comporte plusieurs bandes

d'absorption:





(a) Design of the cavity for the Nd:YAG laser



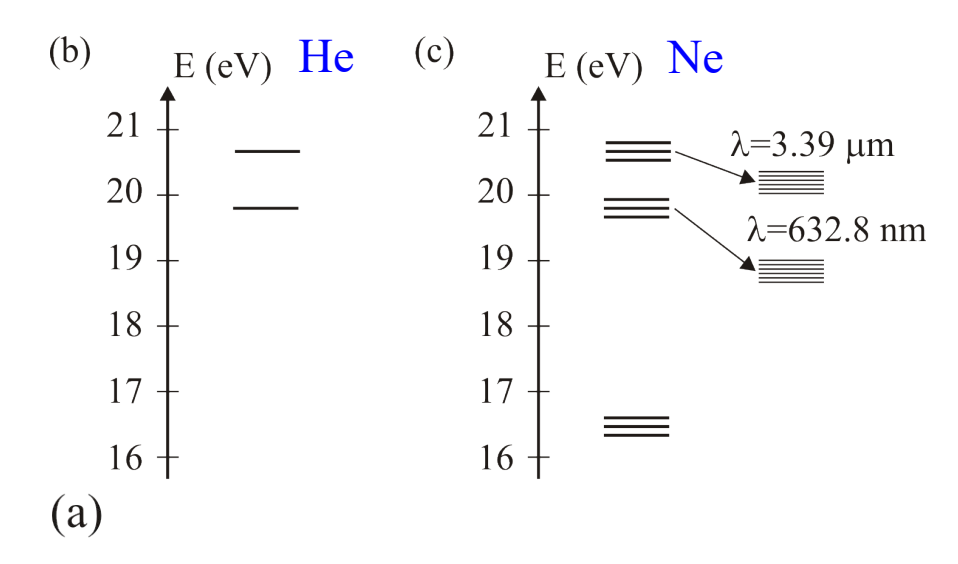
(b) Energy level scheme of Nd:YAG

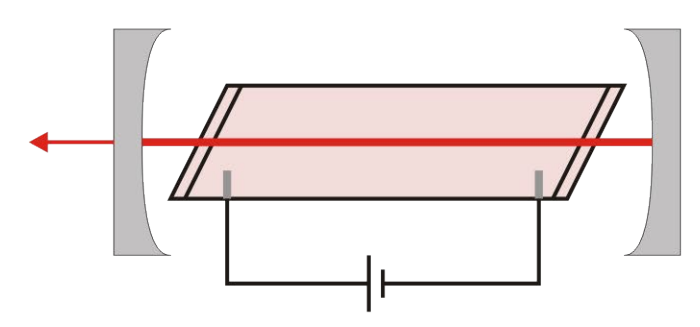
Laser He-Ne

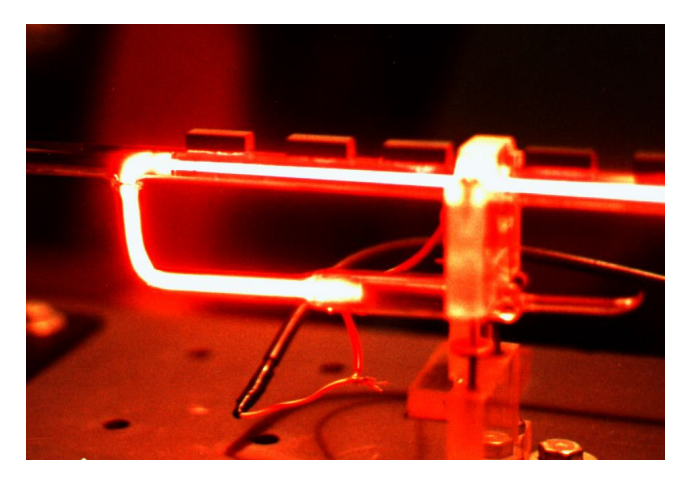
- Pompage by décharge électrique (comme dans un tube fluorescent)
- La cavité assure un spectre d'émission étroit, émission dans le rouge ou l'infrarouge

(b)

Excitation des atomes He puis transfert d'énergie vers les atomes Ne



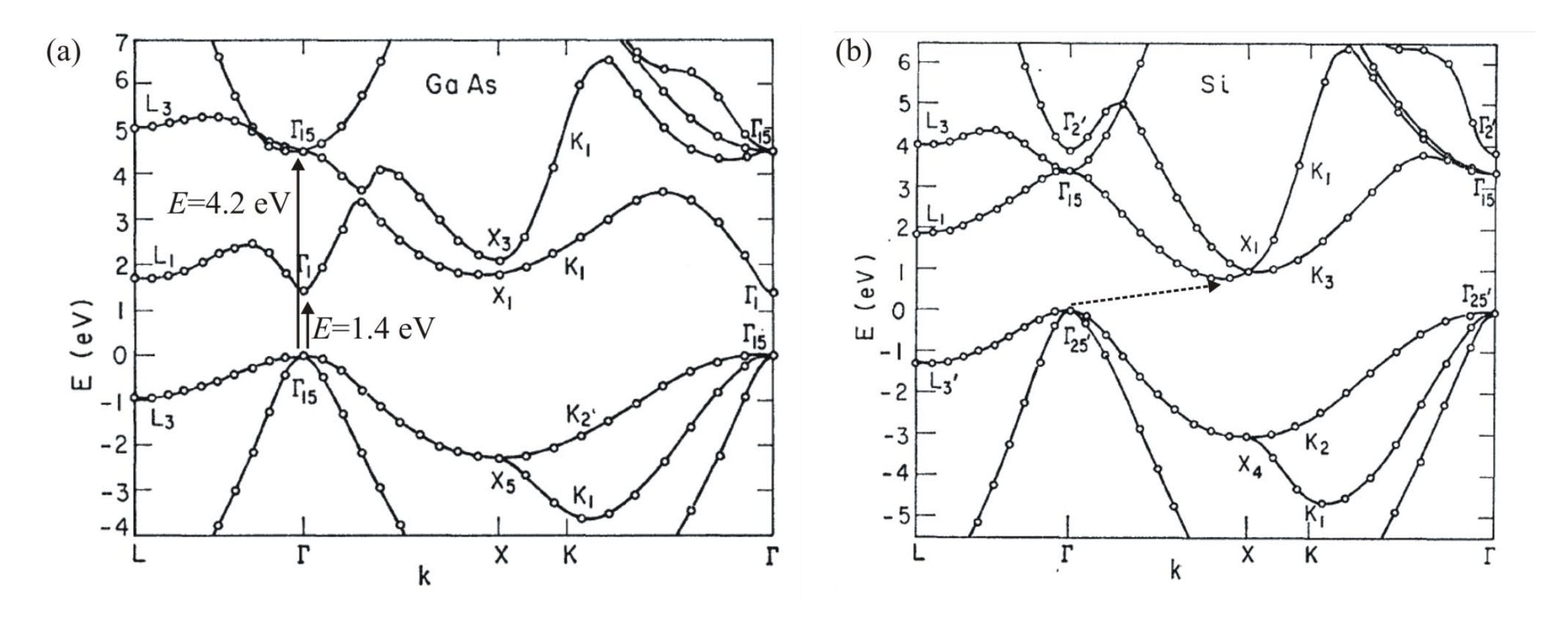






Laser à semiconducteur

 Pour avoir émission laser, il faut un semiconducteur à bandgap direct (c'est à dire où les électrons excités redescendent «directement» au niveau fondamental):



Laser à semiconducteur

L'énergie du bandgap détermine la fréquence/longueur d'onde d'émission

Table 7.1 – Semiconducteurs avec bandgap direct (indirect), à $T=300\,\mathrm{K}$

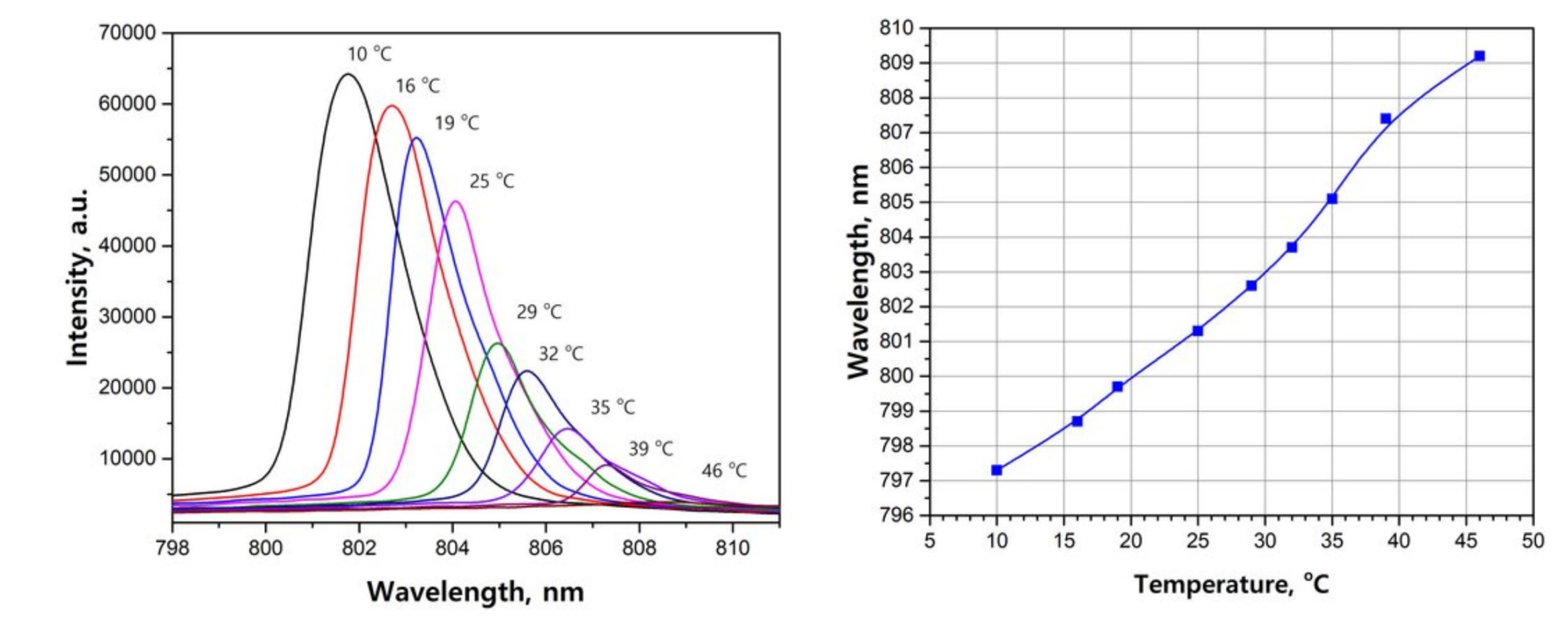
Semiconducteur	GaN	AlGaN	AlGaAs	GaInAsP	InP
$E_g(eV)$	3.4	3.4 - (5.9)	1.4 - 2.2	0.7 - 2	1.28
$\lambda_0(\mu\mathrm{m})$	0.36	(0.2) - 0.4	(0.6) - 0.9	0.6 - 1.7	1

Semiconducteur	InAs	InSb	PbSe	SnTe	PbSnTe
$E_g(eV)$	0.36	0.24	0.26	0.18	0.04 - 0.2
$\lambda_0 \left(\mu \mathrm{m} \right)$	3.4	5.2	4.8	6.9	6.5 - 3

Le bandgap dépend de la température → la longueur d'onde d'émission aussi

Laser à semiconducteur

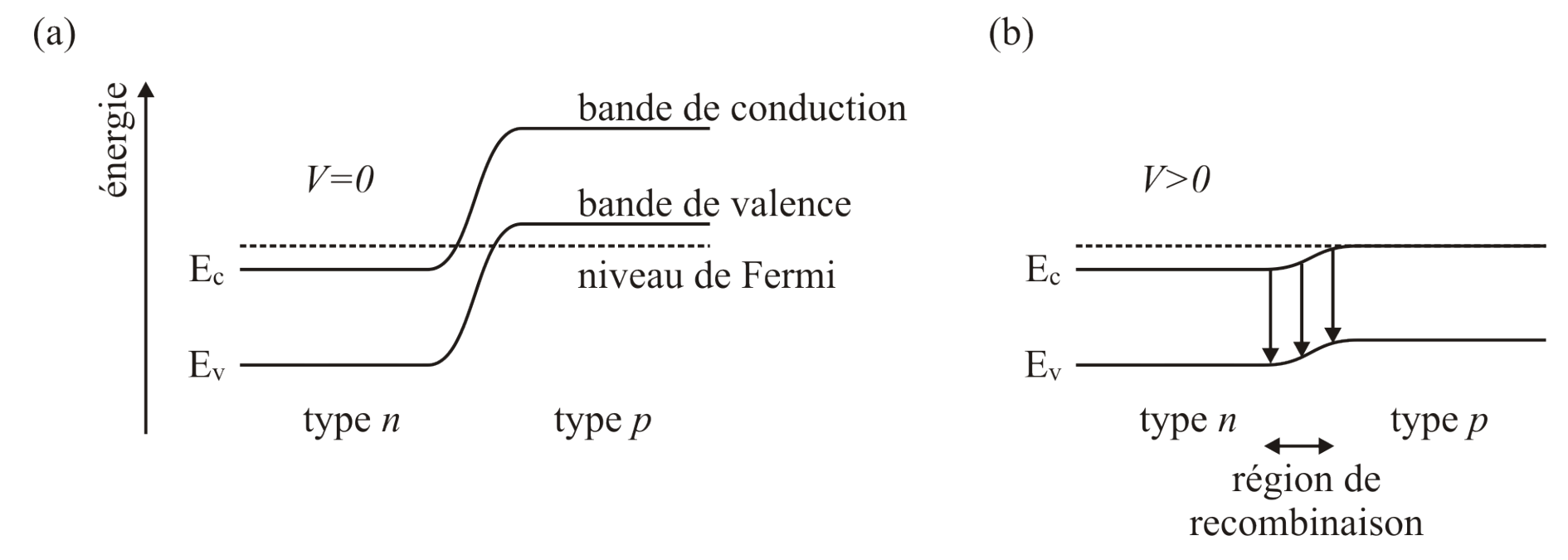
La longueur d'onde et le courant de seuil varient avec la température



- On peut ajuster la longueur d'onde en chauffant le laser
- Il faut surtout contrôler sa température pour éviter que la longueur d'onde change!

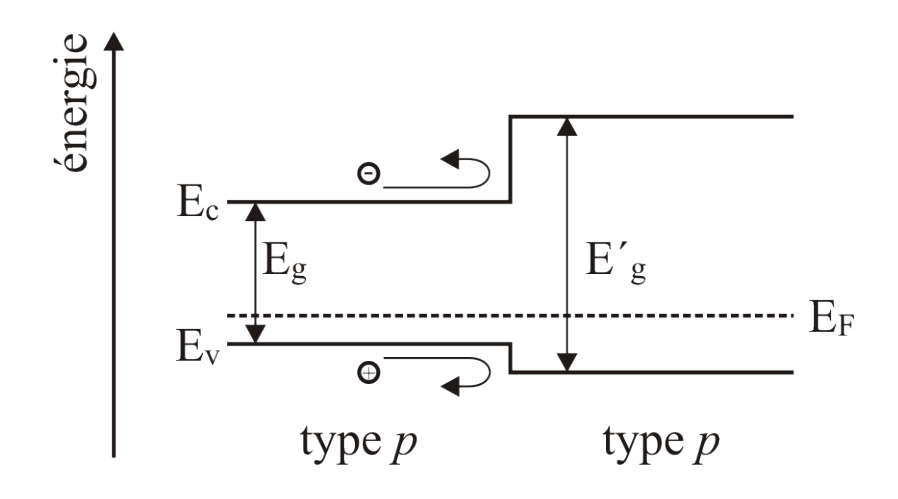
Laser à semiconducteur - Pompage

- Pompage optique ou par faisceau d'électrons (cathodoluminescence): utilisés lors du développement de lasers
- Injection directe de porteurs de charge dans une jonction p-n "diode laser":

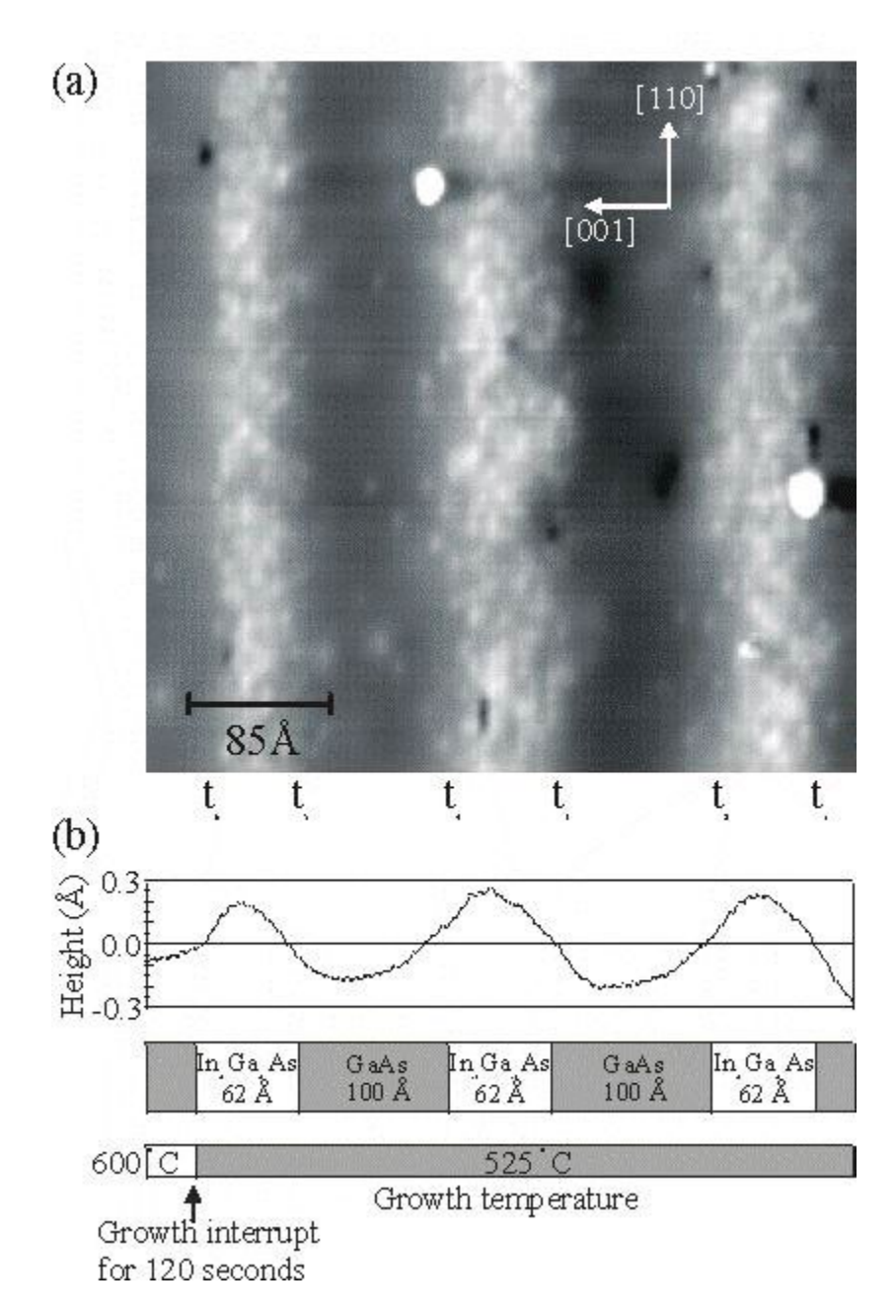


 Inconvénient: les porteurs de charge peuvent s'échapper de la région de recombinaison et ne produisent donc pas de lumière

Diode laser - Hétérostructure

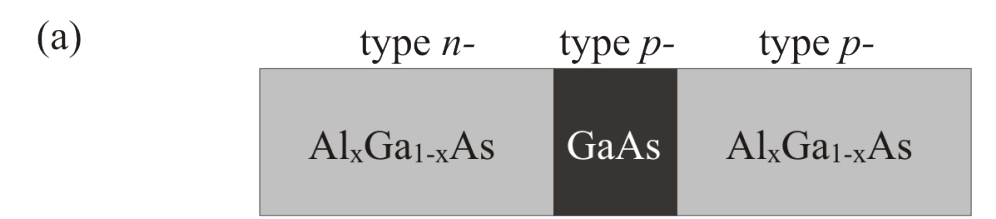


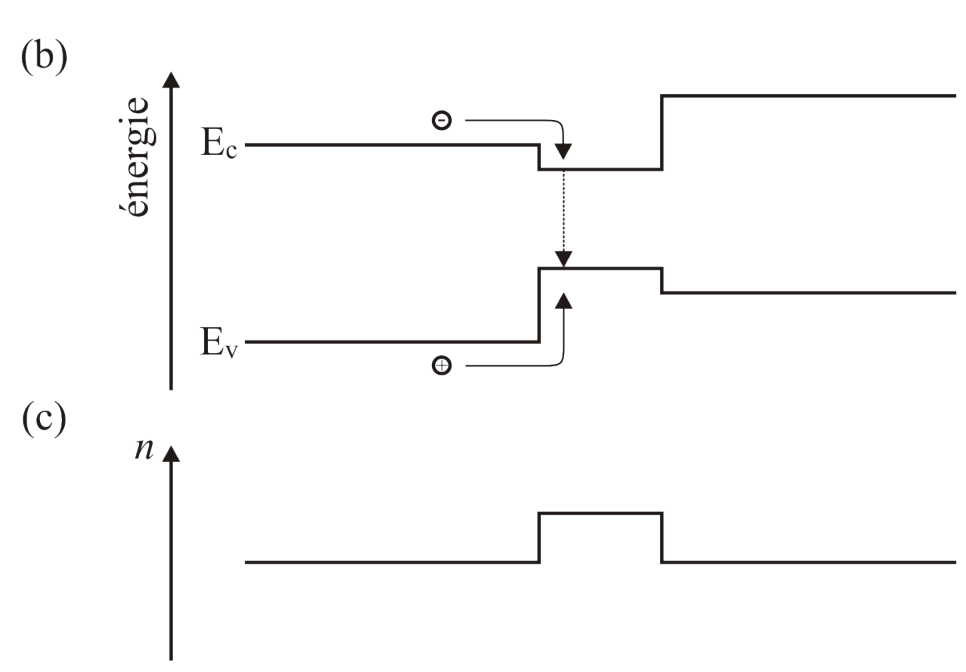
- Deux semiconducteurs avec des bandgaps différents
- Localisation des porteurs de charge à l'interface
- Réalisation par croissance épitaxiale



Diode laser – Double hétérostructure

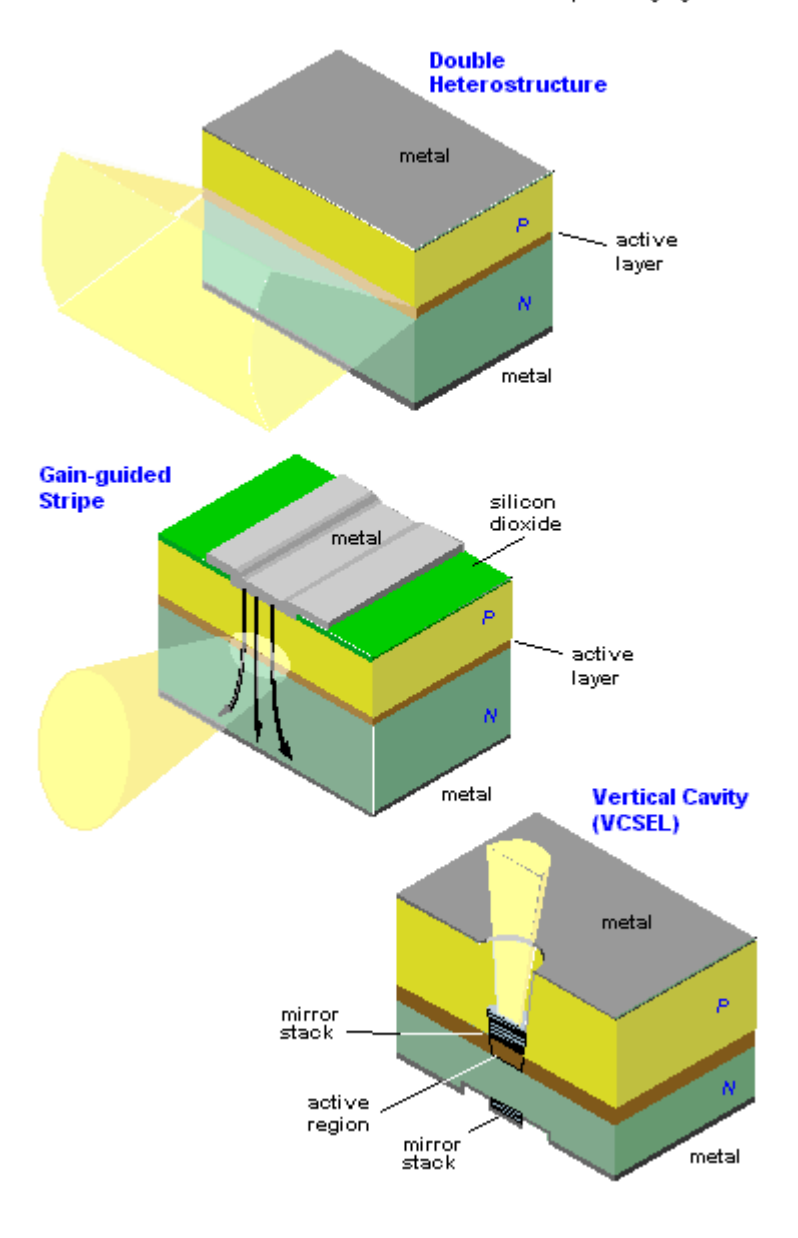
- La recombinaison a lien dans une région bien définie où le bandgap est le plus petit
- L'injection est efficace, les charges diffusent vers la région de recombinaison
- La région active sert aussi de guide d'onde (indice de refraction plus élevé)





Diode laser

From Computer Desktop Encyclopedia © 2000 The Computer Language Co. Inc.

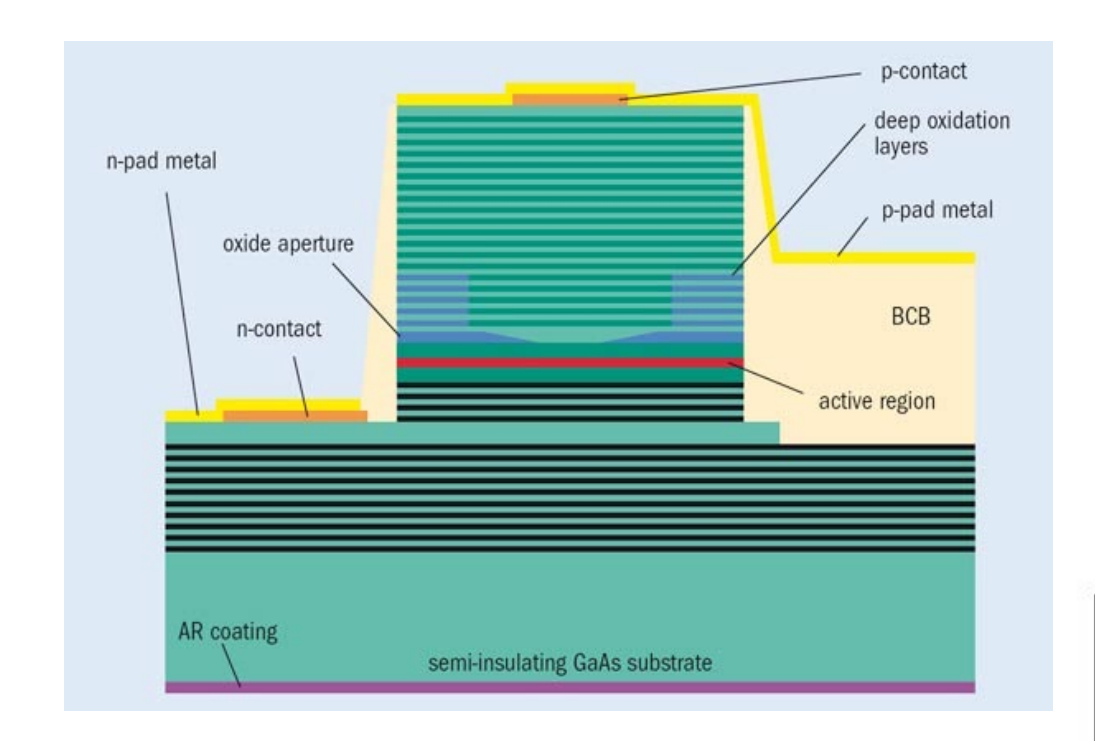


VCSEL

Vertical Cavity Surface Emitting Laser

Les miroirs de la cavité sont formés par des multicouches qui alternent des indices

de réfraction hauts et bas



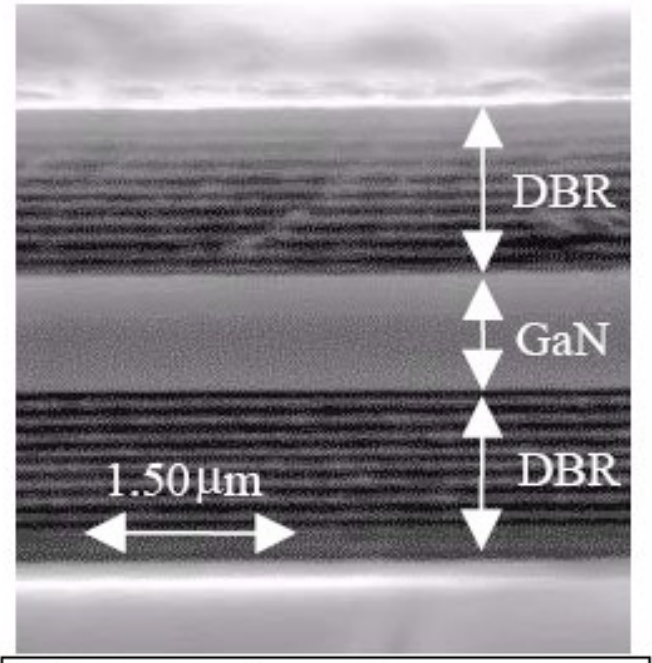


Fig. 5. GaN microcavity, ~800 nm thick, formed by laser-lift off and ICP etching

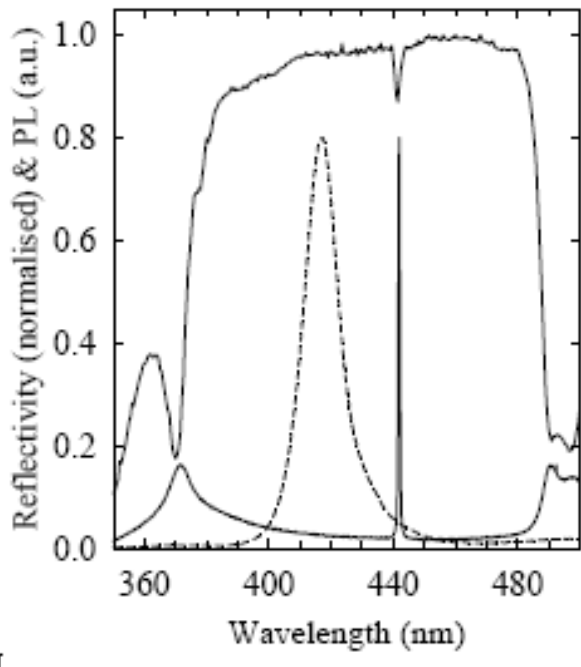
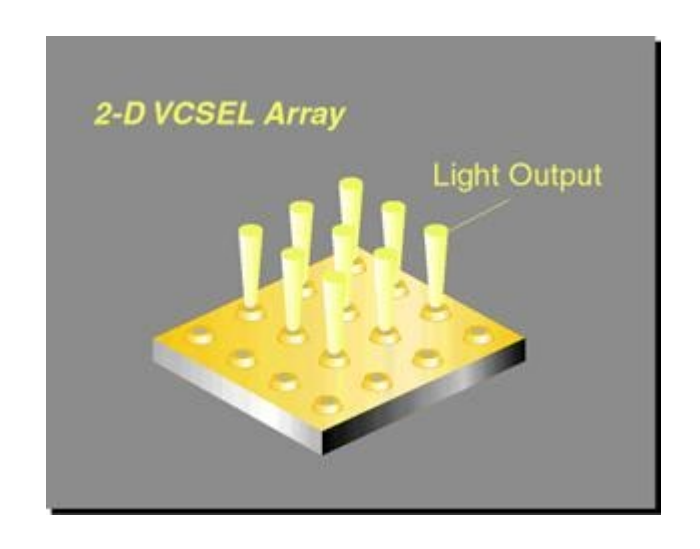
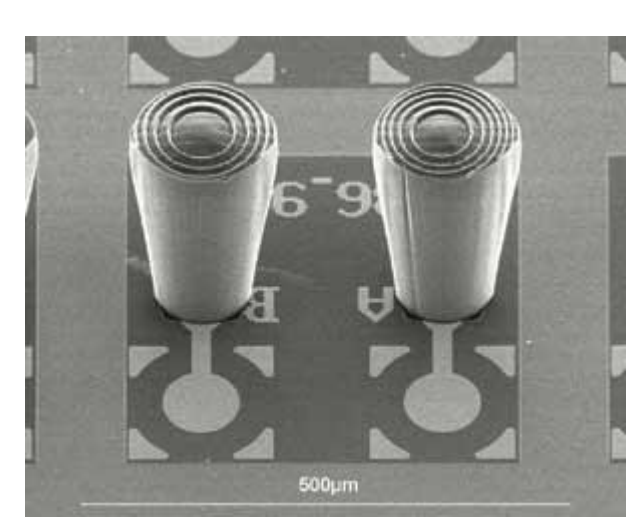


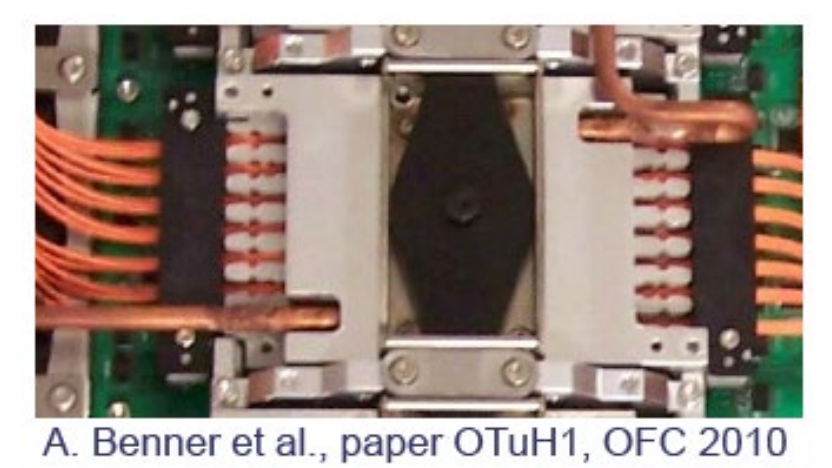
Fig. 6. RT reflectivity and PL data (solid lines) from a microcavity containing a single InGaN quantum well The dashed line shows RT PL from the as grown wafer.

VCSEL

Très bonnes possibilités d'intégration avec des fibres optiques



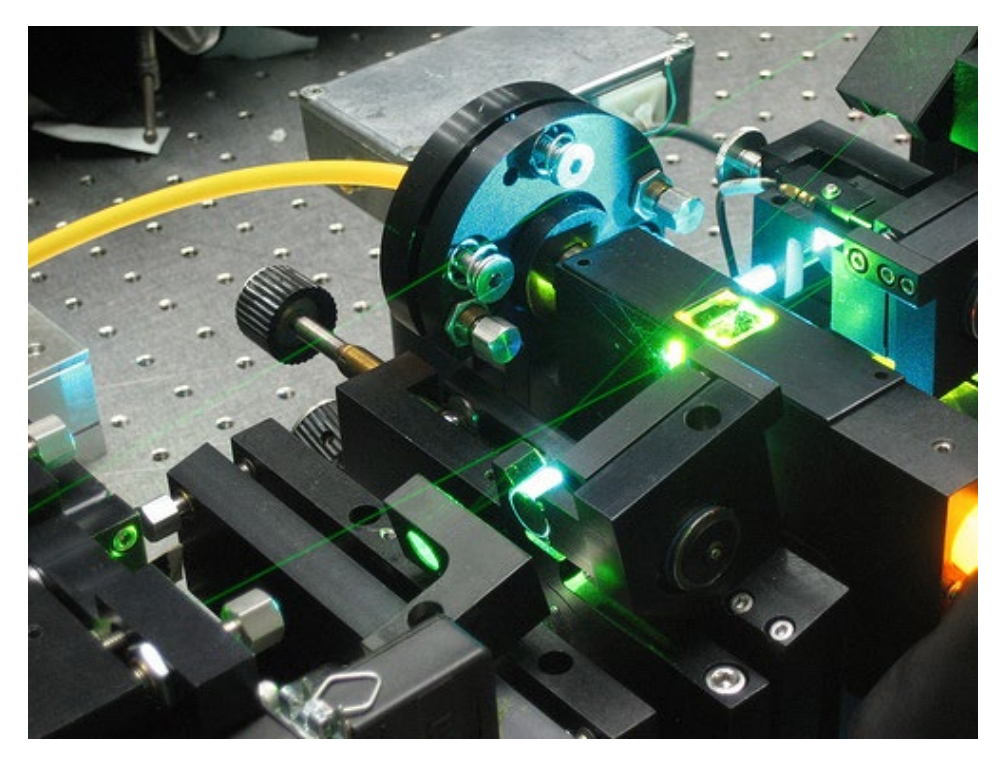


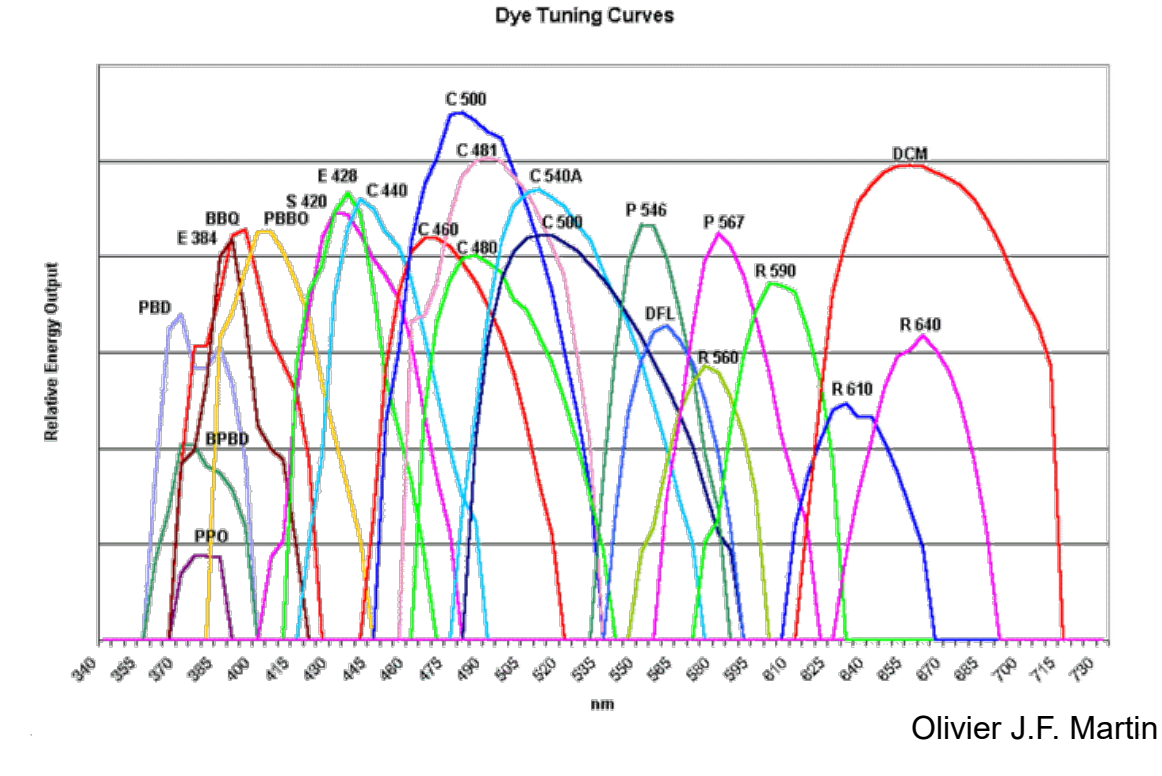




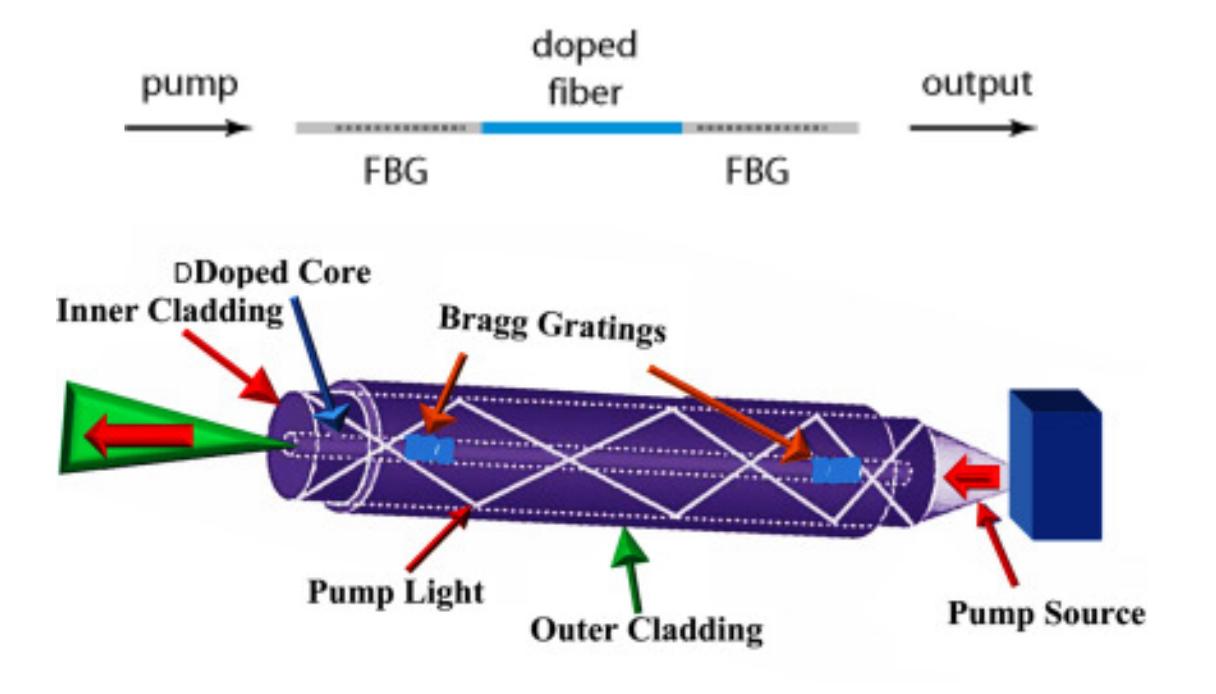
Laser à colorant

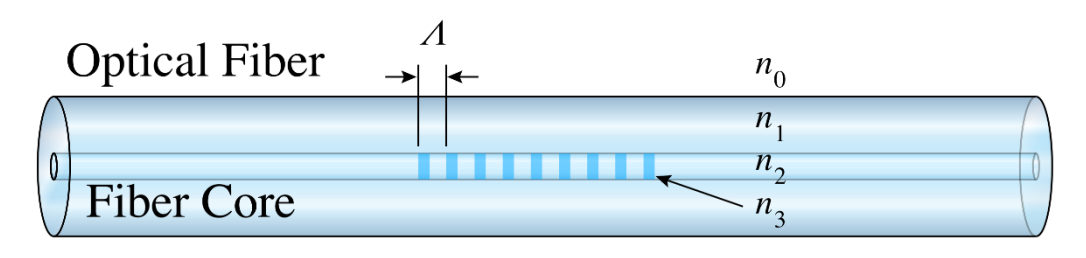
- Un colorant organique est utilisé comme milieu actif
- Pompage optique
- Permet d'obtenir une grand variété de longueurs d'onde
- « very messy » à utiliser (fuites, alignement de la cavité)
- A été supplanté par les lasers à semiconducteurs

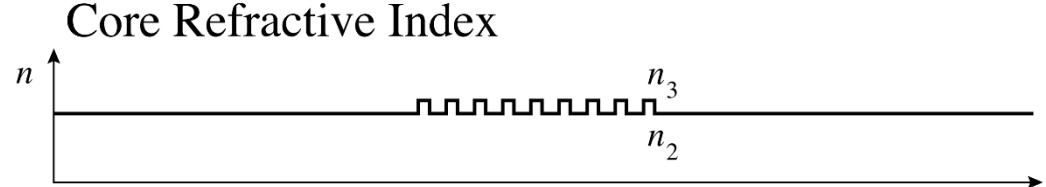


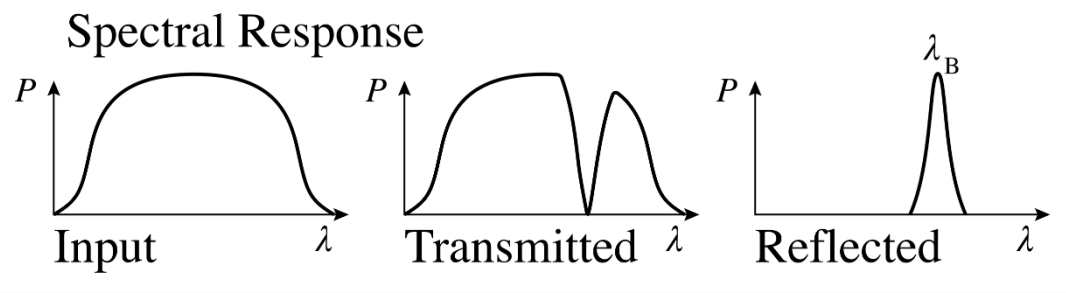


Laser à fibre





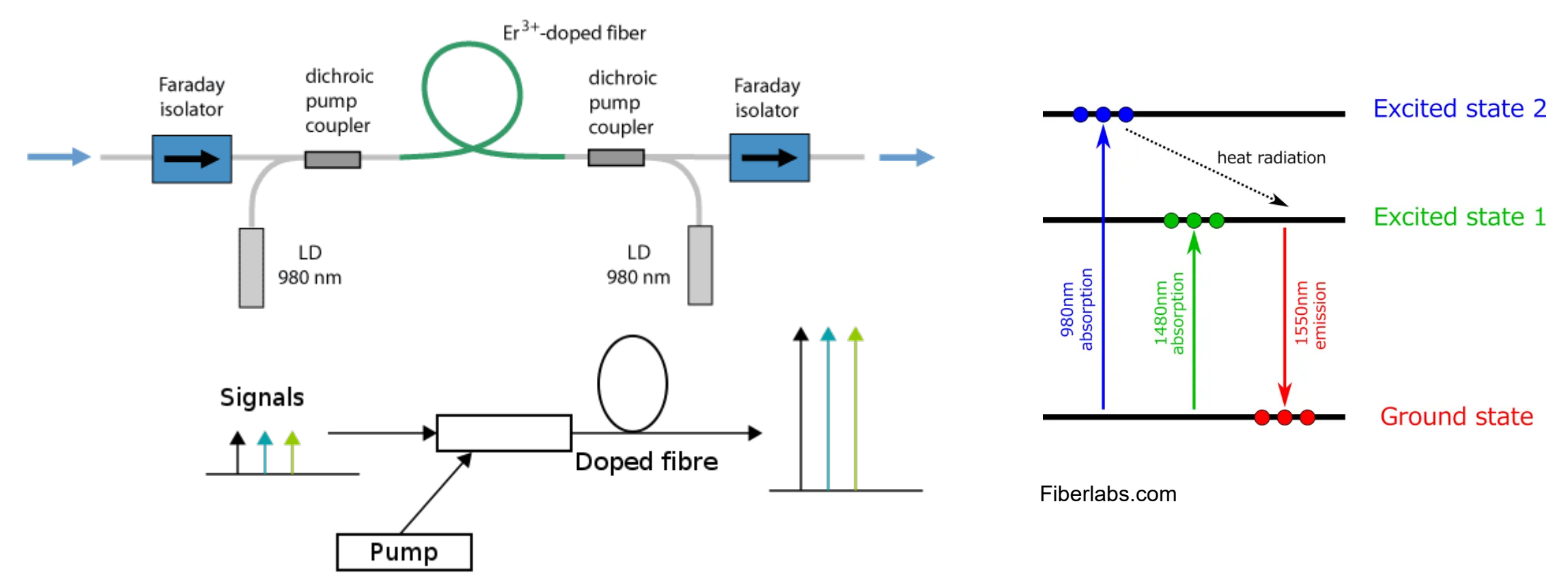




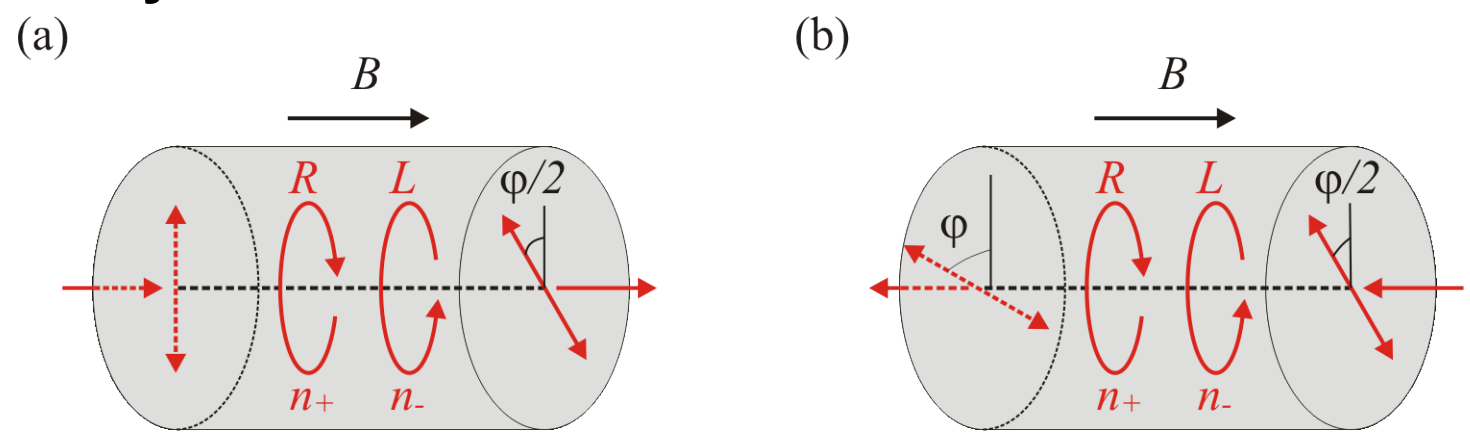
- Une section de fibre optique dopée avec des composants actifs produisant du gain peut être utilisée comme laser
- Parfois double cladding pour la lumière de pompe
- Des miroirs de Bragg sont gravés dans la fibre et permettent de créer une cavité

Amplificateur optique

- Système sans cavité permettant de régénérer les signaux optiques
- En général on utilise comme milieu actif des fibres dopées avec des ions Er^{3+} pompés avec un laser à λ =980 nm pour amplifier le signal à λ =1'550 nm

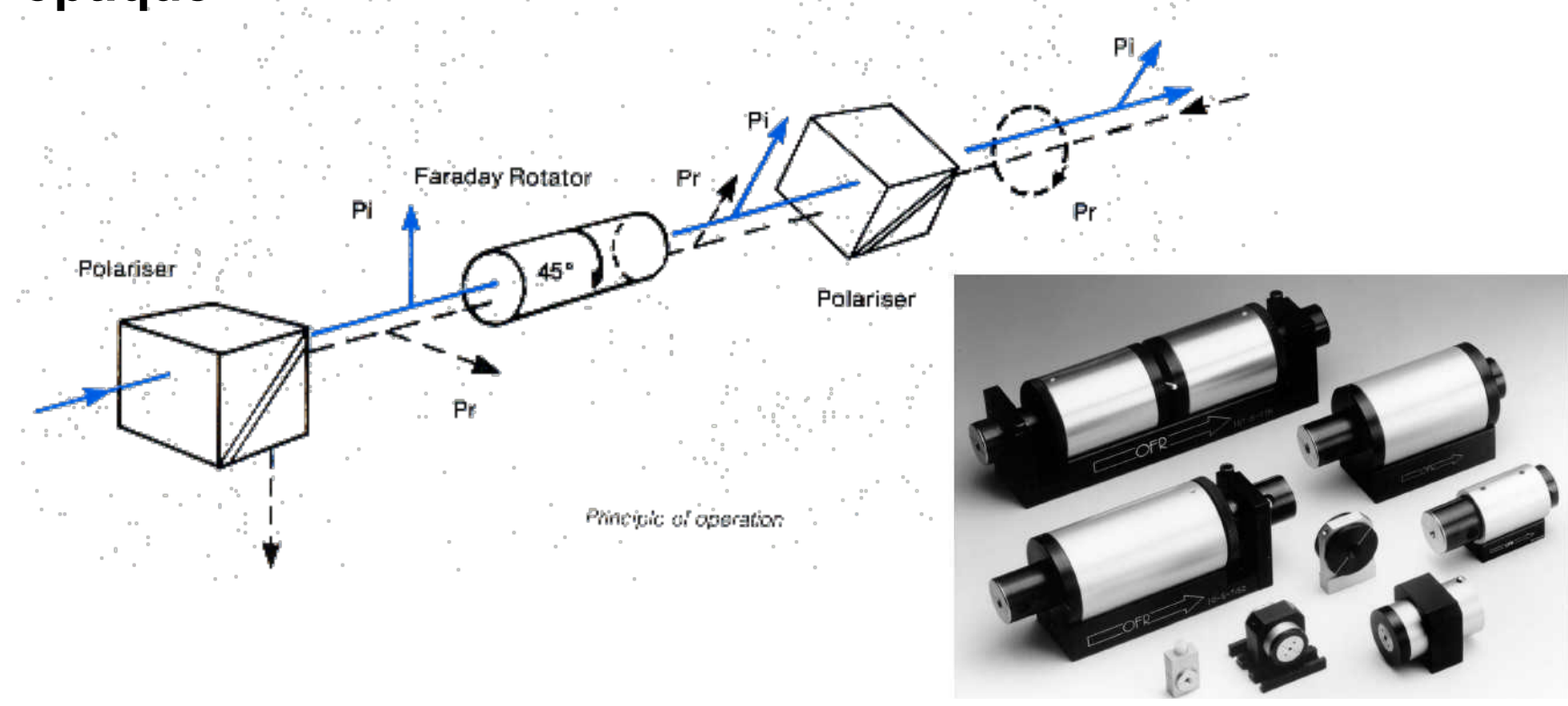


Rotateur de Faraday



- En général, si la lumière prend le chemin A → B, elle peut prendre aussi le chemin B → A (tout système optique est réciproque)
- Il existe cependant des systèmes qui ne sont pas réciproques et permettent de créer des isolateurs optiques en utilisant un champ magnétique externe
- Sens de rotation déterminé par la règle du tire-bouchon (ou vis) appliqué au champ d'induction magnétique
- La rotation de la polarisation dépend du champ appliqué (cte de Verdet): $\rho = \mathcal{V}B$
- Effet magnéto-optique

Isolateur optique

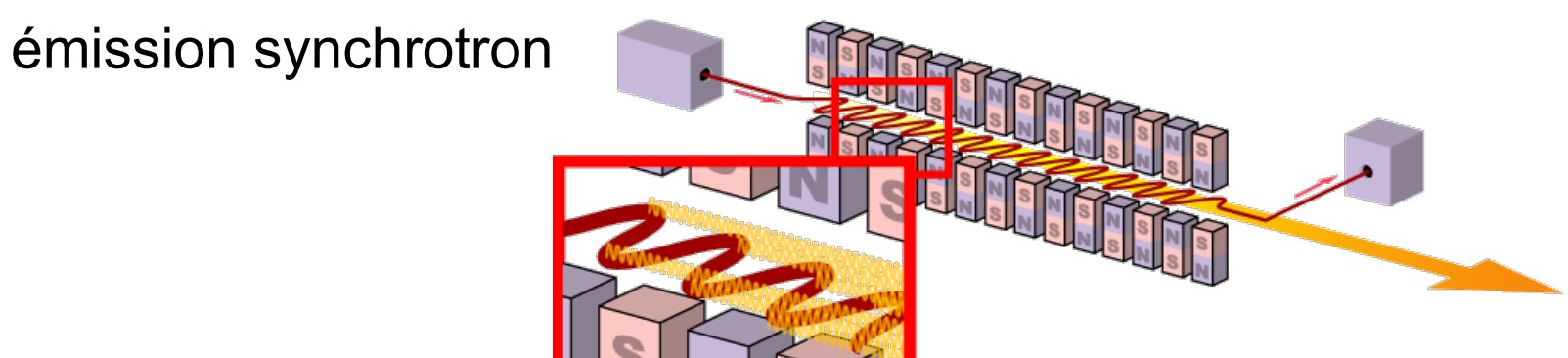


- En combinant un rotateur de Faraday avec des polariseurs, on peut créer un isolateur optique (la lumière passe de gauche à droite, mais elle ne passe pas de droite à gauche!)
- Un tel isolateur est presque toujours utilisé après un laser pour éviter que de la lumière réfléchie ne revienne dans le laser

Laser à électron libre

- Utilise un faisceau d'électrons relativistes comme milieu actif
- Longueur d'onde ajustable des micro-ondes aux rayons X

Les électrons passent dans un ondulateur et leur accélération donne lieu à une







Laser à électron libre - Modèle suisse

- Entré en fonction en 2018 au PSI (canton d'Argovie)
- Produit des faisceaux de photons de longueur d'onde de 0.1nm
- Beaucoup d'applications en biologie, pour déterminer la structure de protéines

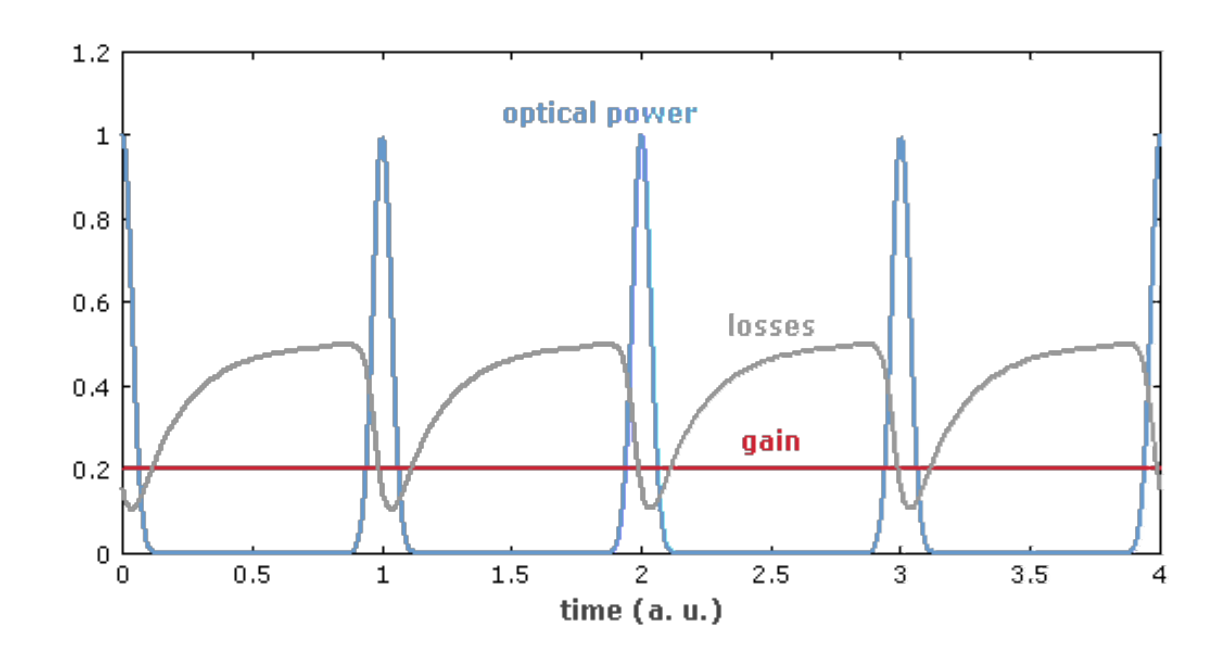


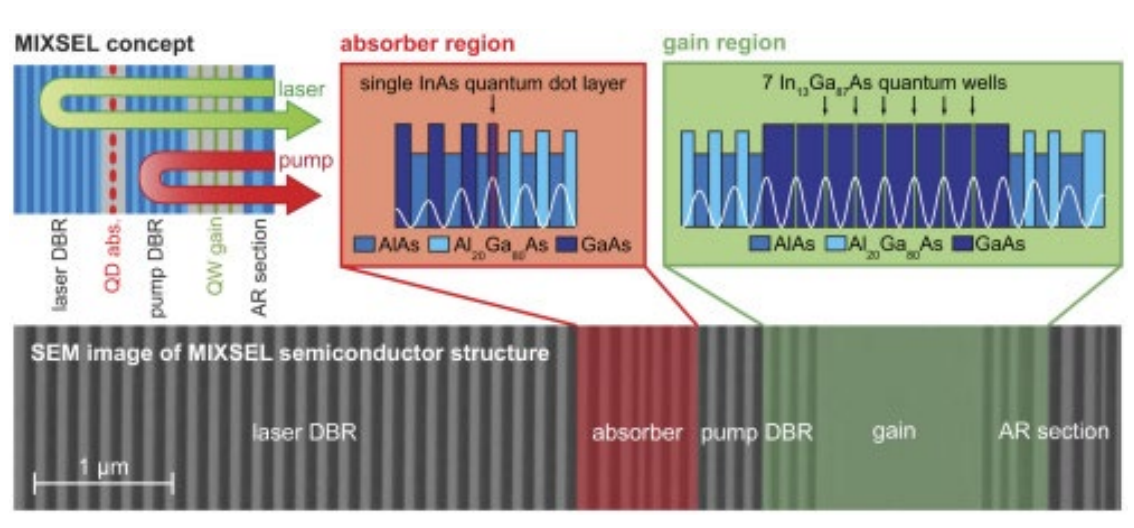




Lasers pulsés

- On réalise facilement des lasers émettant des pulses de quelques ps (10⁻¹² s) à quelques fs (10⁻¹⁵ s), le record du monde (ETHZ) est de l'ordre de quelques dizaines as (10⁻¹⁸ s)
- Les lasers sont souvent auto-modulés en utilisant un absorbeur saturable





Laser encyclopedia

Efficacité d'un laser

Un laser n'est pas très efficace...

Type de laser	Longueur d'onde [μm]	Efficacité [%]
CO2	10.6	15
He-Ne	0.633	0.1
He-Cd	0.442, 0.325	0.01 - 0.02
Nd-YAG	1.06	0.1 - 2.0
Diode laser	0.7 - 1.5	20
Electron libre	Large spectre	30

 Ses propriétés spectrales (cohérence, largeur de spectre) le rendent cependant irremplaçable!

Ingénierie optique

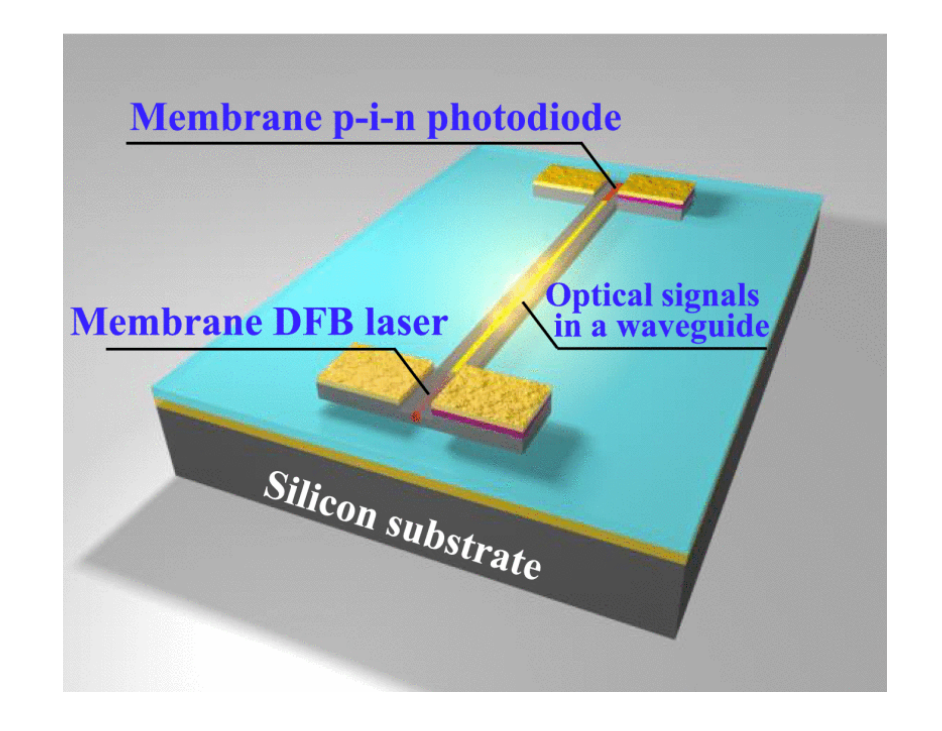
Semaine 13 – partie 4





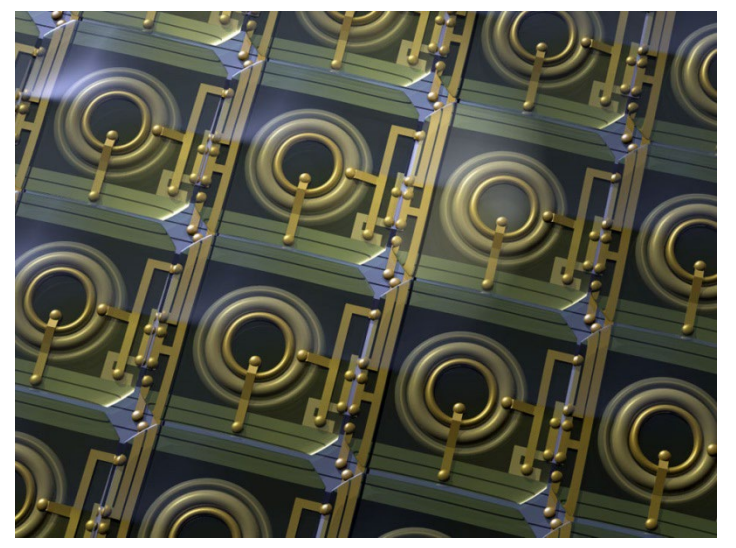
Photodétecteurs





Photodetector tube

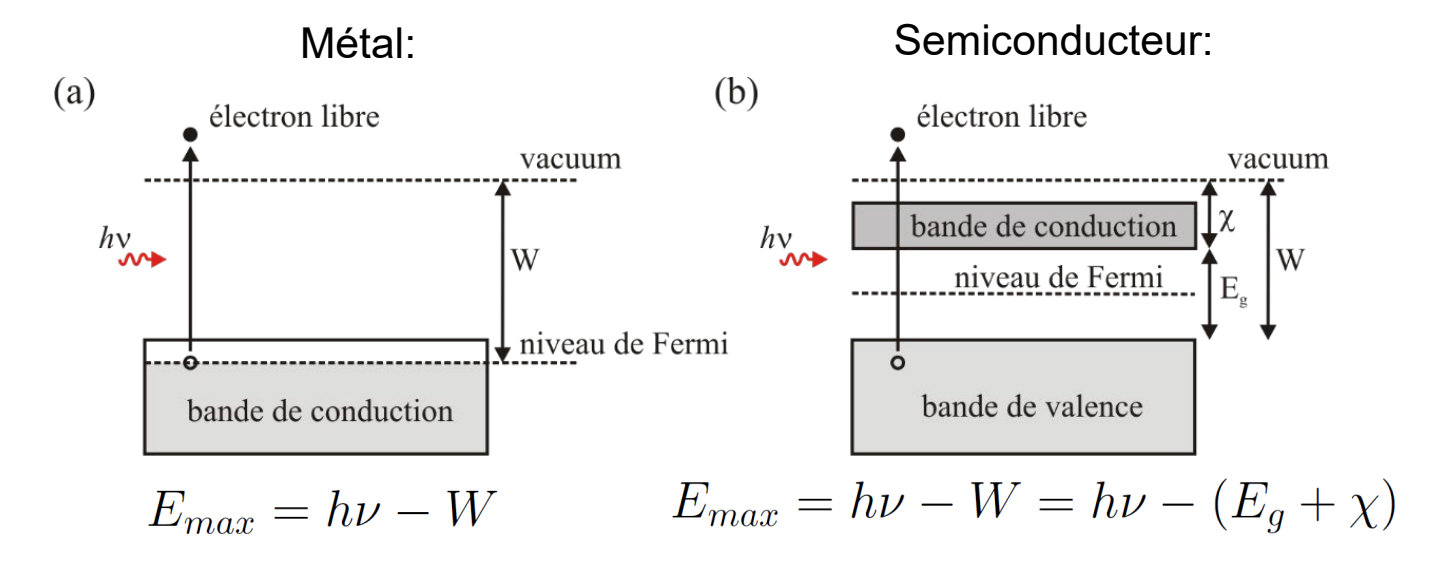




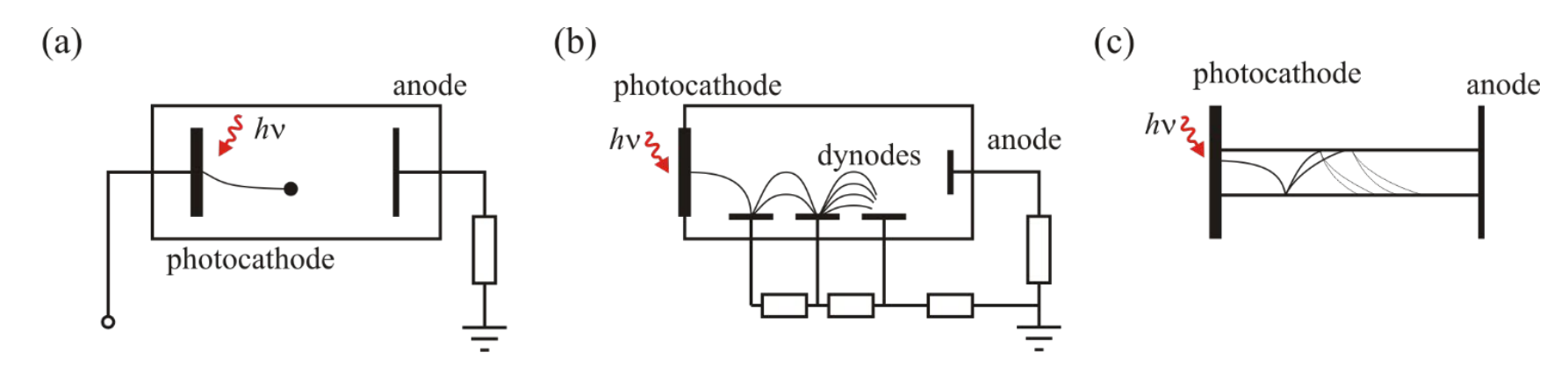
Array of SPADs

- Effet photoélectrique externe
- Effet photoélectrique interne
- Photodiodes et leurs deux modes de fonctionnement

Effet photoélectrique



- E_{max} énergie cinétique de l'électron
- \(\chi\) affinité
- L'absorption d'un photon libère un électron vers le vacuum
- Il existe des semiconducteurs avec χ < 0 (bande de conduction au dessus du vacuum) il suffit que h_V > E_g pour générer un électron



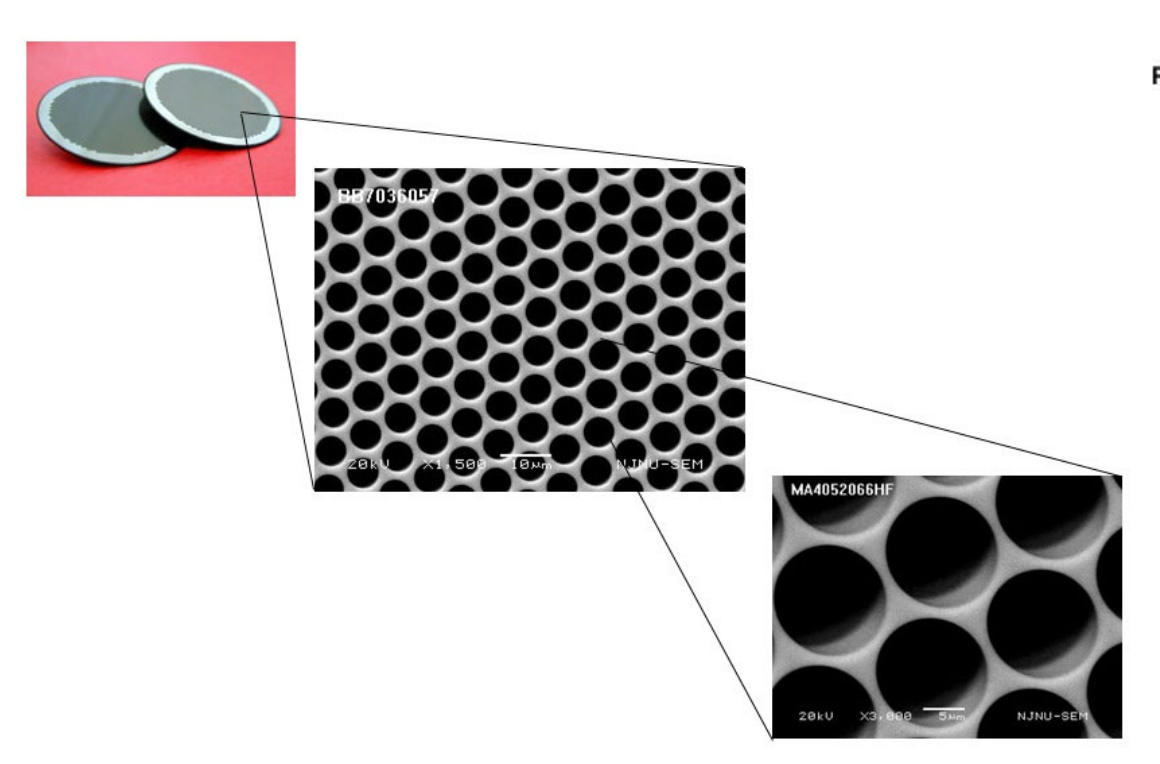
- Différentes réalisations possibles
- Effet photomultiplicateur (jusque 10⁸ x)

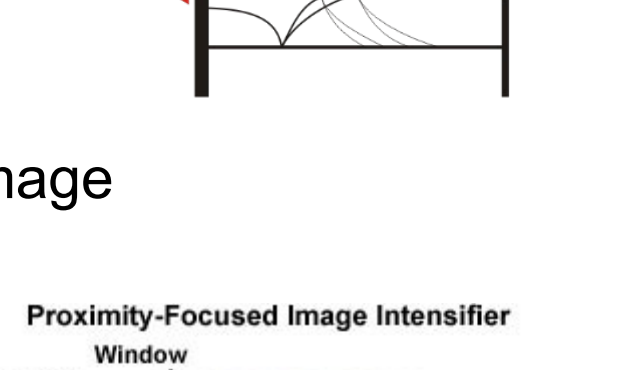




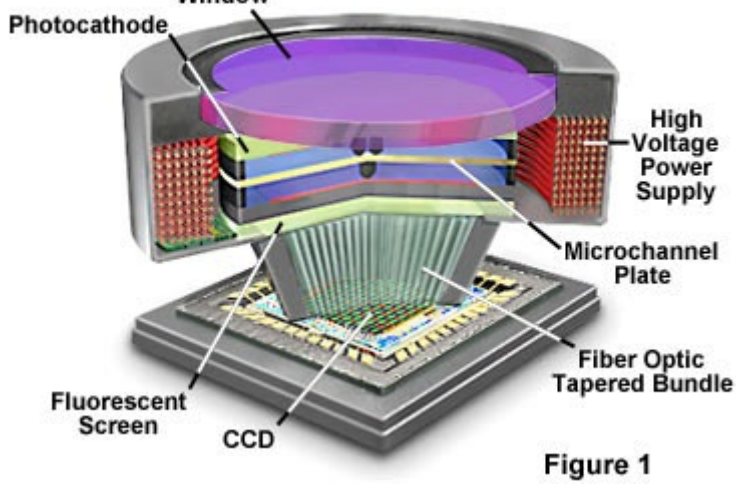
Microchannel plate

- Forte amplification
- Fonctionne du visible aux rayons X
- Beaucoup de canaux parallèles → amplificateur d'image



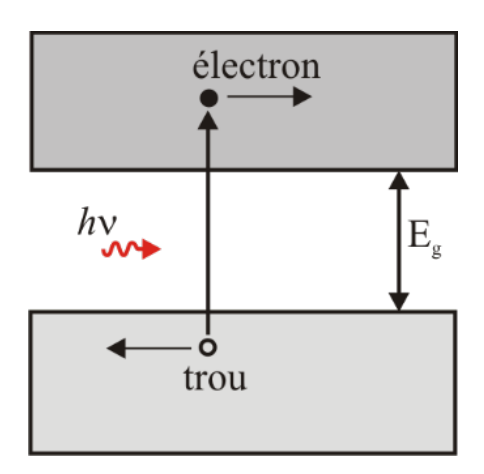


photocathode



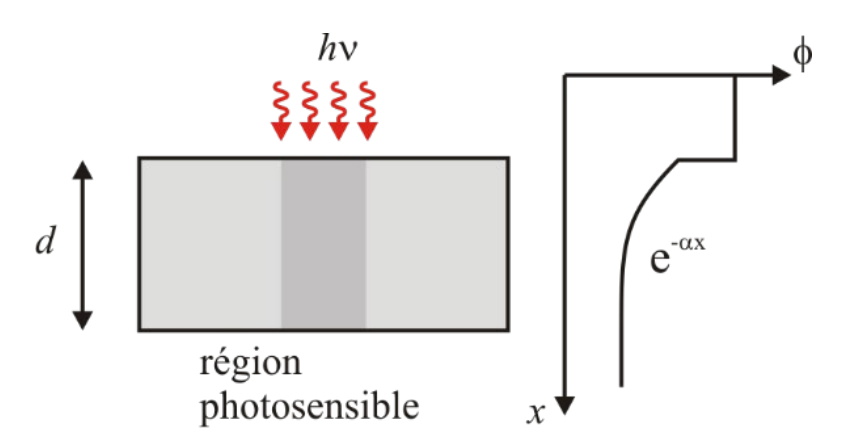
Hamamatsu

anode



- Dispositifs précédents: électron éjecté vers le vacuum → effet photoélectrique externe
- Dans un semiconducteur, génération d'une paire électon-trou qui reste dans le semiconducteur → effet photoélectrique interne
- En appliquant un champ électrique, les porteurs de charge sont transportés → courant mesurable

Efficacité quantique



- Probabilité qu'un photon incident génère une paire électron-trou qui contribuera au courant mesuré: $0 \le \eta \le 1$
- Absorption α

$$\eta = (1 - \mathcal{R})\varsigma[1 - \exp(-\alpha d)]$$

- s fraction de paires électron-trou qui contribuent au photocourant
- L'efficacité quantique dépend de λ_0 (si $\lambda_0 > \lambda_g = hc_0/E_g$ il est peu probable que le photon soit absorbé)
- Si $\alpha = 10^4 \, \mathrm{cm}^{-1}$ la plupart des photons sont absorbés sur une épaisseur de $1 \, \mu \mathrm{m}$

Réponsivité

- Rapport entre le photocourant généré et la puissance optique illuminant le photodétecteur $\mathbf{R} = \frac{\eta e}{h\nu} = \eta \frac{\lambda_0}{1.24}$
- Si chaque photon génère une paire électron-trou qui participe au photocourant, alors la puissance optique $P=h\nu\phi$ produit un photocourant $i_p=eP/h\nu$; malheureusement, seul un taux de photons participe au photocourant: η

$$i_p = \eta e \phi = \frac{\eta e P}{h \nu} = \mathbf{R} P$$

Ordre de grandeur: R ~ 1A/W

Gain

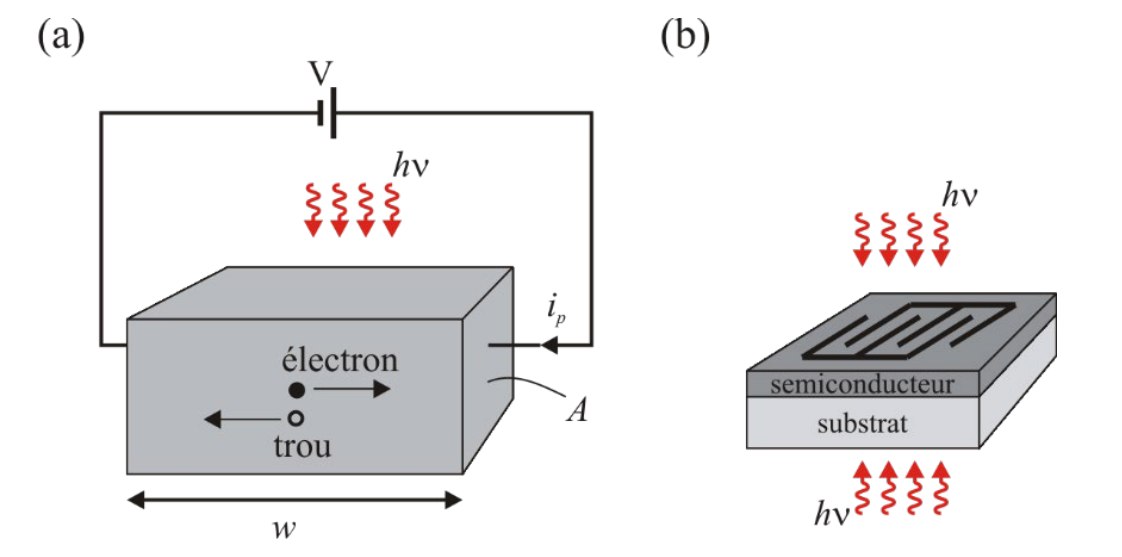
- Chaque paire electron-trou peut générer une charge q qui peut être plus grande ou plus petite que e^-
- Gain du photodétecteur: G = q/e

$$i_p = \eta q \phi = \eta G e \phi = \frac{\eta G e P}{h \nu}$$

$$\mathbf{R} = \frac{\eta Ge}{h\nu} = \eta G \frac{\lambda_0}{1.24}$$

$$E(eV) = \frac{1.24}{\lambda_0(\mu m)}$$

• Ne pas confondre le gain avec l'efficacité quantique η qui est la probabilité qu'un photon incident génère une paire électron-trou qui contribue au courant mesuré

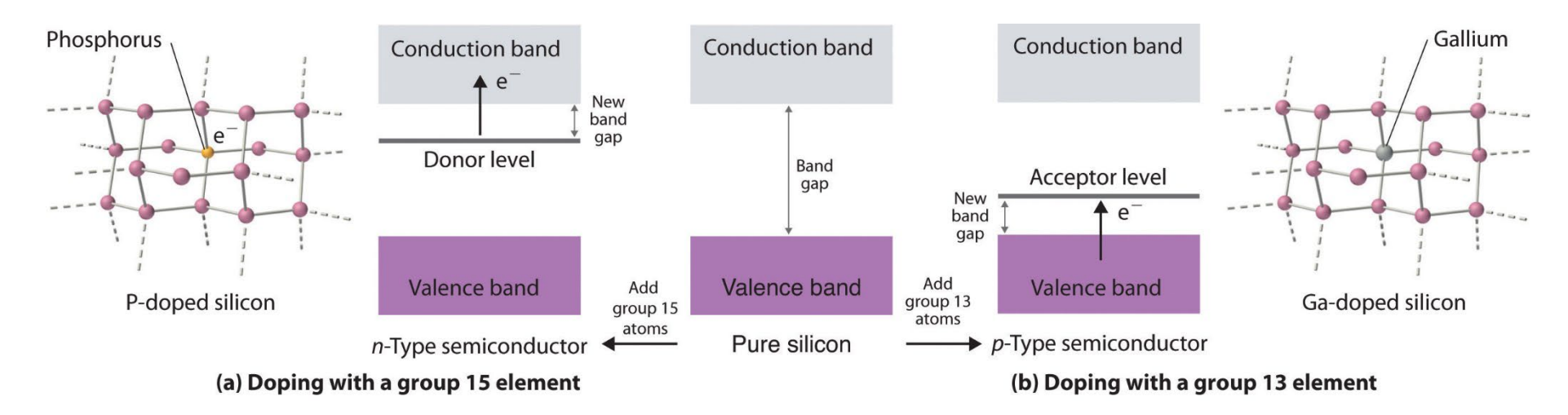


• Le flux de photon génère des paires électron-trou qui modifient la conductivité σ du semiconducteur

$$\Delta \sigma = \frac{\eta e \tau (\mu_e + \mu_h)}{wA} \phi$$

- Mobilités: μ_e , μ_h
- Durée de vie des charges créées: au

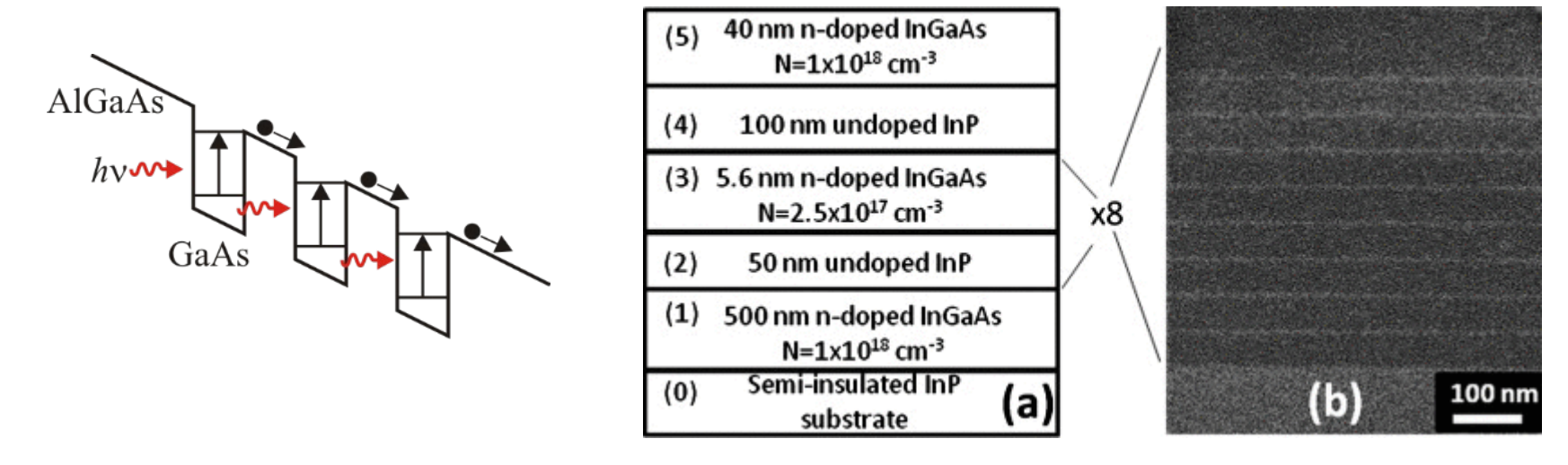
Semiconducteurs dopés



- Un semiconducteur intrinsèque ne peut absorber que des photons qui ont une énergie égale ou supérieur à l'énergie du bandgap
- Dans un semiconducteur dopé, d'autres niveaux d'énergie existent → absorption dans l'infrarouge

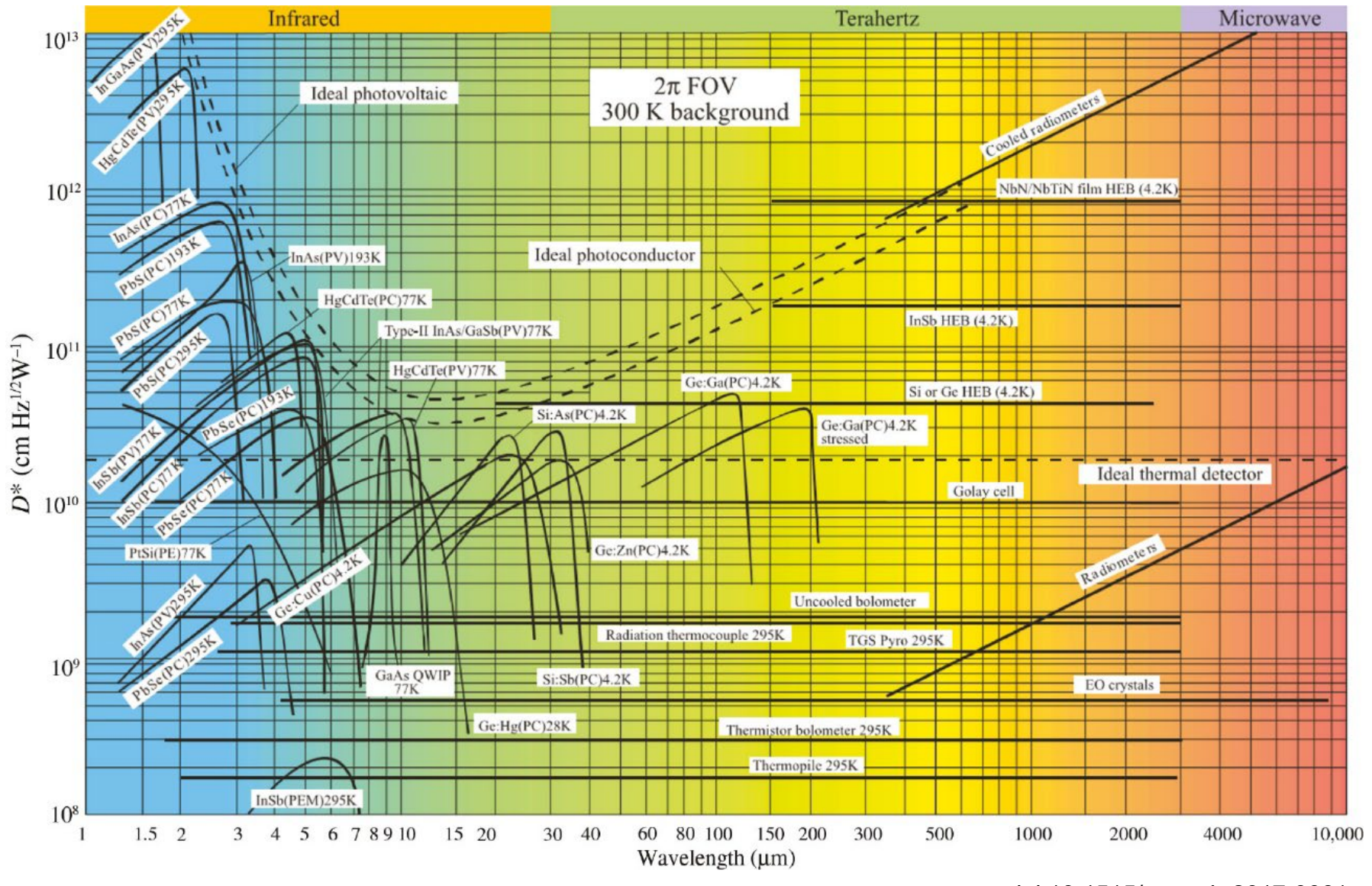
Semiconducteur :Dopant	$E_A(\mathrm{eV})$	$\lambda_A(\mu\mathrm{m})$
Ge :Hg	0.088	14
Si :B	0.044	23
Ge:Cu	0.041	30
Ge:Zn	0.033	38
Ge :Ga	0.010	115

Photodétecteur à puits quantiques



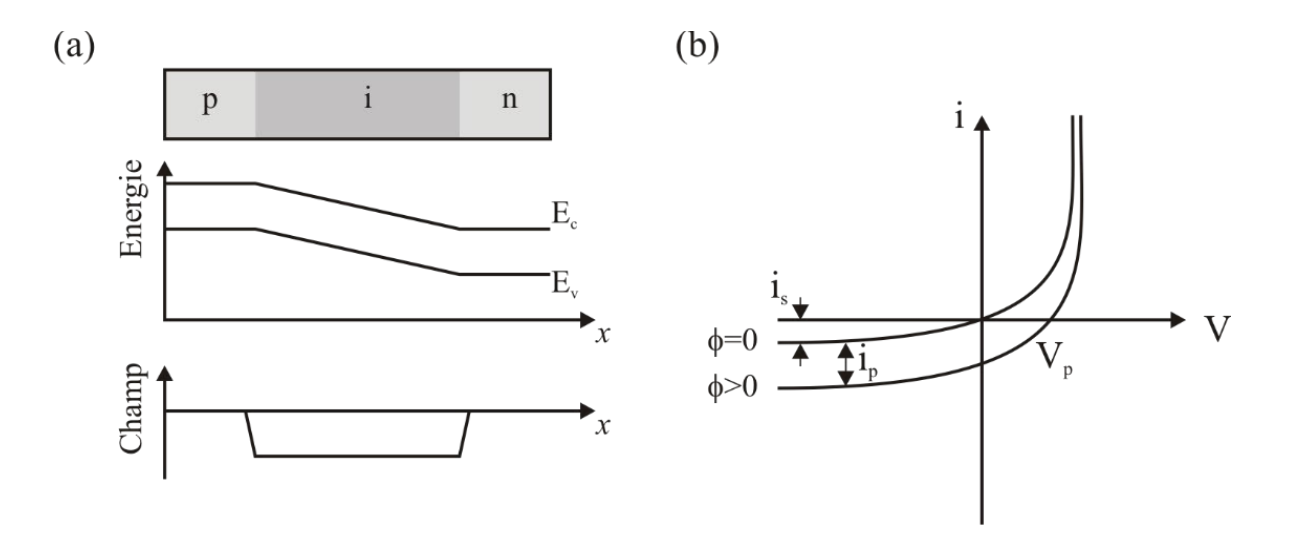
- Le photon incident libère vers la bande de conduction l'électron se trouvant dans le puit quantique (de très petite profondeur énergétique), augmentant par la même la conductivité du semiconducteur
- Sensibilité dans l'infrarouge $(\lambda_0 = 4...20 \,\mu\text{m})$

Matériaux pour les photodétecteurs



doi:10.1515/nanoph-2017-0061

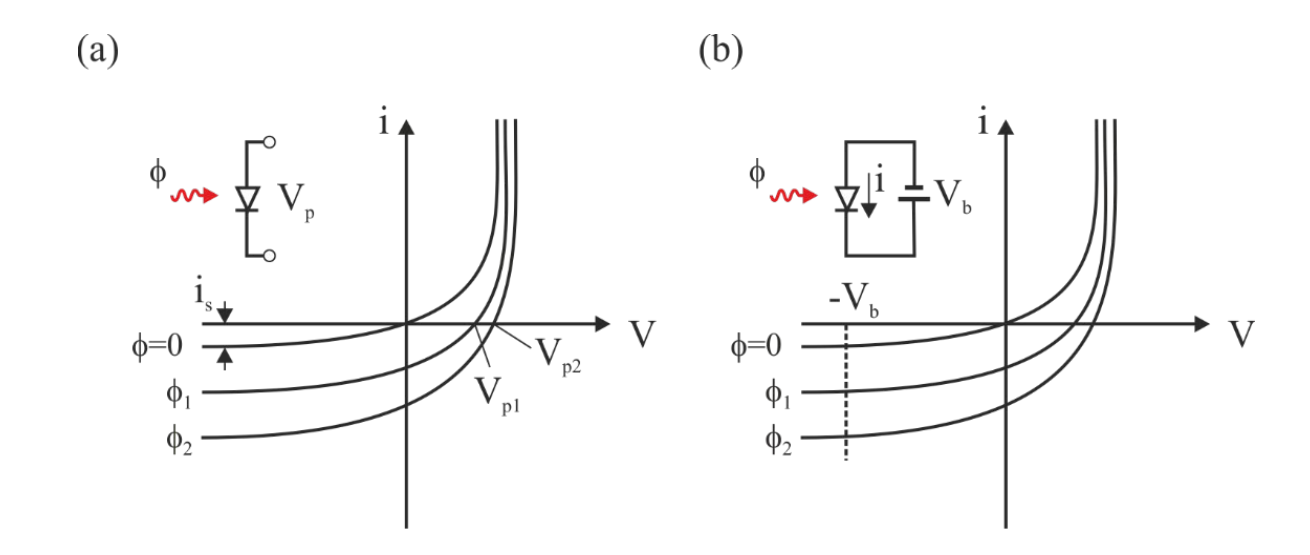
Photodiodes



- En général structure p-i-n
- La région intrinsèque permet de diminuer la capacité de la diode et d'augmenter le champ électrique pour favoriser l'extraction des porteurs de charge
- Fonctionne comme une diode, avec un terme supplémentaire i_p correspondant au photocourant:

 $i = i_s \left| \exp\left(\frac{eV}{KT}\right) - 1 \right| - i_p$

Photodiodes



- Deux modes de fonctionnement:
 - En absence de polarisation (circuit ouvert ou mode photovoltaïque) la photodiode crée une tension.
 - En polarisation inverse par une alimentation externe (mode photoampérique) la photodiode crée un courant

Ingénierie optique

Semaine 13 – partie 5





Information pour l'examen

- L'examen du cours Ingénierie optique aura lieu sous forme écrite et durera 2 heures.
- L'examen portera sur la matière suivante :
 - L'ensemble de le matière présentée pendant le cours ;
 - L'entier du polycopié;
 - Tous les exercices.
- L'examen comporte un nombre important de questions, les étudiants sont encouragés à parcourir rapidement la donnée et débuter par les questions qui leur semblent les plus accessibles.

Information pour l'examen

- Pour l'examen, les étudiants ont droit aux documents suivants :
 - Un résumé personnel du cours (pas des exercices!) écrit à la main sur deux feuilles A4 recto-verso maximum (quatre pages A4 maximum). Il est possible de réaliser ce résumé de façon individuelle sur une tablette/ordinateur et de l'imprimer
 - Un formulaire mathématique sous forme de livre de formules (mathématiques, trigonométries, etc...), par exemple "Formulaires et tables" édité par les
 Commissions romandes de mathématique, de physique et de chimie ; ou "Formeln und Tafeln, Mathematik, Physik" édité par Orell Füssli.
 - Une calculatrice de poche (modèle de votre choix) sans aucune connexion Internet.

Information pour l'examen

- Les étudiants rendront leur copie sur papier libre de format A4 (ne pas utiliser de feuillet A3 plié en deux), en mettant leur nom sur chaque page en haut à droite. Les copies seront remplies au stylo, à la plume ou au feutre de couleur bleue ou noire. Pour les dessins et diagrammes, des couleurs supplémentaires peuvent être utilisées, sauf la couleur rouge.
- Les étudiants apporteront le papier nécessaire pour l'examen (papier de brouillon et papier pour la copie).
- Les places sont assignées dans les différentes salles et seront communiquées avant l'examen par email.